

مجله بلورشناسی و کانی شناسی ایران  
سال سی و سوم، شماره اول، بهار ۱۴۰۴، از صفحه ۸۱ تا ۹۶

## کانی شناسی و زمین‌شیمی ذخیره کائولن ساری‌تپه، شمال‌شرق مرند، شمال‌غرب ایران

علی عابدینی<sup>۱</sup>، مریم خسروی<sup>۲</sup>

- ۱- گروه زمین‌شناسی، دانشکده علوم، دانشگاه ارومیه، ایران، ارومیه، ایران  
۲- دانشکده مهندسی معدن، دانشگاه صنعتی اصفهان، اصفهان، ایران  
(دریافت مقاله: ۱۴۰۳/۴/۴، نسخه نهایی: ۱۴۰۳/۶/۳)

چکیده: ذخیره کائولن ساری‌تپه در ۱۰ کیلومتری شمال‌شرق مرند، استان آذربایجان شرقی، شمال‌غرب ایران واقع است و با سنگ‌های آذرین آتشفسانی (داسیت - آندزیت) الیگومن می‌شود. کائولینیت، کوارتز، آلونیت، هالویزیت، روتیل و پیریت کانی‌های بخش مرکزی ذخیره هستند. این در حالی است که بخش بیرونی ذخیره شامل کانی‌های کائولینیت، کوارتز، اسمنتیت، ایلیت، کلریت، گوتیت و پلازیوکلاز است. همبستگی‌های منفی  $\text{Al}_2\text{O}_3$ - $\text{SiO}_2$ - $\text{K}_2\text{O}$  و  $\text{SiO}_2$ - $\text{LOI}$  آشکار می‌کنند که کائولینیتی شدن در ذخیره ساری‌تپه در اثر عملکرد فرآیندهای گرمابی گسترش یافته است. افزایش در نسبت‌های  $\text{La}/\text{Yb}_{\text{N}}$  (La/Yb) و عنصر خاکی نادر سبک (LREE) به سنگین (HREE)، از مرکز به سمت بیرون ذخیره و تغییرات کانی‌شناسی دلیلی بر افزایش pH محلول‌های گرمابی در اثر واکنش با سنگ‌های درونگیر و جذب ترجیحی LREE‌ها توسط رس‌ها (کائولینیت، اسمنتیت و ایلیت) و گوتیت هستند. نقش موثر فرآیندهای درونزاد و سیال‌های دما بالا طی گسترش ذخیره کائولن با بی‌هنجری‌های منفی Ce و Eu، و همبستگی‌های مثبت و قوی بین  $\text{P}_2\text{O}_5$  با  $\text{La}/\text{Lu}_{\text{N}}$  و  $\text{La}/\text{Yb}_{\text{N}}$  (LREE/HREE) قابل برداشت است. افزون بر این، مقادیر شاخص‌های زمین‌شیمیایی چون  $\text{La}+\text{Ce}+\text{Y}$  و  $\text{TiO}_2+\text{Fe}_2\text{O}_3$  همپوشی محدود فرآیندهای برونزاد بر فرآیندهای درونزاد طی گسترش و تشکیل ذخیره کائولن ساری‌تپه را پیشنهاد می‌نمایند. نتایج به دست آمده از بررسی‌های کانی‌شناسی و زمین‌شیمیایی نشان می‌دهند که محلول‌های اسیدسولفاتی نقش مهمی در تشکیل ذخیره داشته‌اند.

واژه‌های کلیدی: کانی‌شناسی؛ کائولن؛ توزیع عناصر؛ فرآیندهای گرمابی؛ درونزاد؛ مرند.

اساس عناصر اصلی، جزئی و خاکی نادر (REE) چون  $\text{Nb}+\text{Cr}$ ,  $\text{Ba}+\text{Sr}$ ,  $\text{La}+\text{Ce}+\text{Y}$ ,  $\text{TiO}_2$ ,  $\text{Fe}_2\text{O}_3+\text{TiO}_2$  و  $\text{La}/\text{Lu}_{\text{N}}$ ,  $\text{La}/\text{Yb}_{\text{N}}$  (LREE/HREE) و  $\text{Eu}$  و  $\text{Ce}$  برای تفکیک نقش فرآیندهای درونزاد و برونزاد در تشکیل و گسترش کانسارهای کائولن گرمابی توسط پژوهشگران مختلف ارائه شده است [۶-۹].

شمال و شمال‌شرق شهرستان مرند از توابع استان آذربایجان شرقی، شمال‌غرب ایران، به دلیل وجود سنگ‌های آذرین آتشفسانی سنوزوئیک (ائوسن تا میوسن)، سامانه‌های

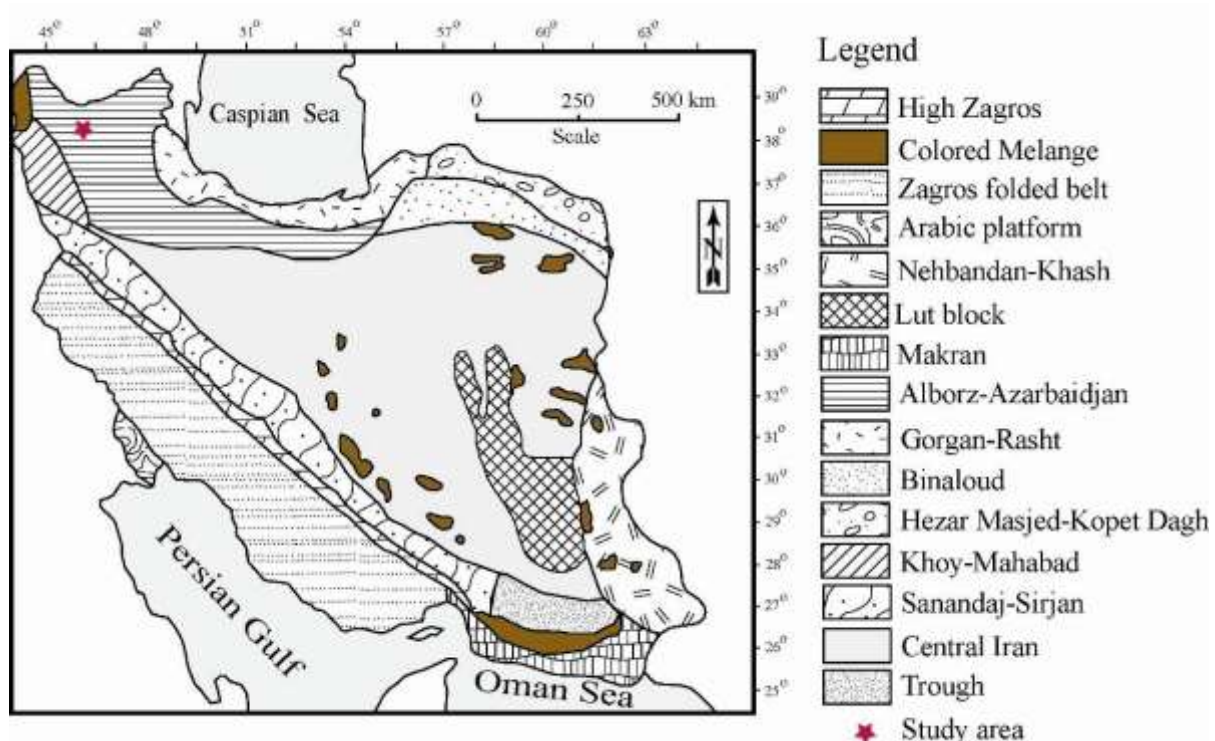
### مقدمه

کائولن یک ماده معدنی غیرفلزی بسیار ارزشمند است. کانسارهای کائولن از نظر سازوکار تشکیل به دسته کلی، (۱) هوازدگی، (۲) رسوی، و (۳) دگرسانی گرمابی تفکیک شده‌اند [۵-۱]. ویژگی‌های کانی‌ای و وجود کانی‌هایی چون کوارتز، روتیل، آلونیت، دیکیت، ناکریت، هالویزیت، اسمنتیت، ایلیت، پیریت، دیاسپور و پیروفیلیت می‌توانند کمک شایانی به تعیین نوع این کانسارها از بین گرمابی، رسوی و هوازدگی نماید [۴، ۵]. افزون بر این، شاخص‌های زمین‌شیمیایی بسیاری بر

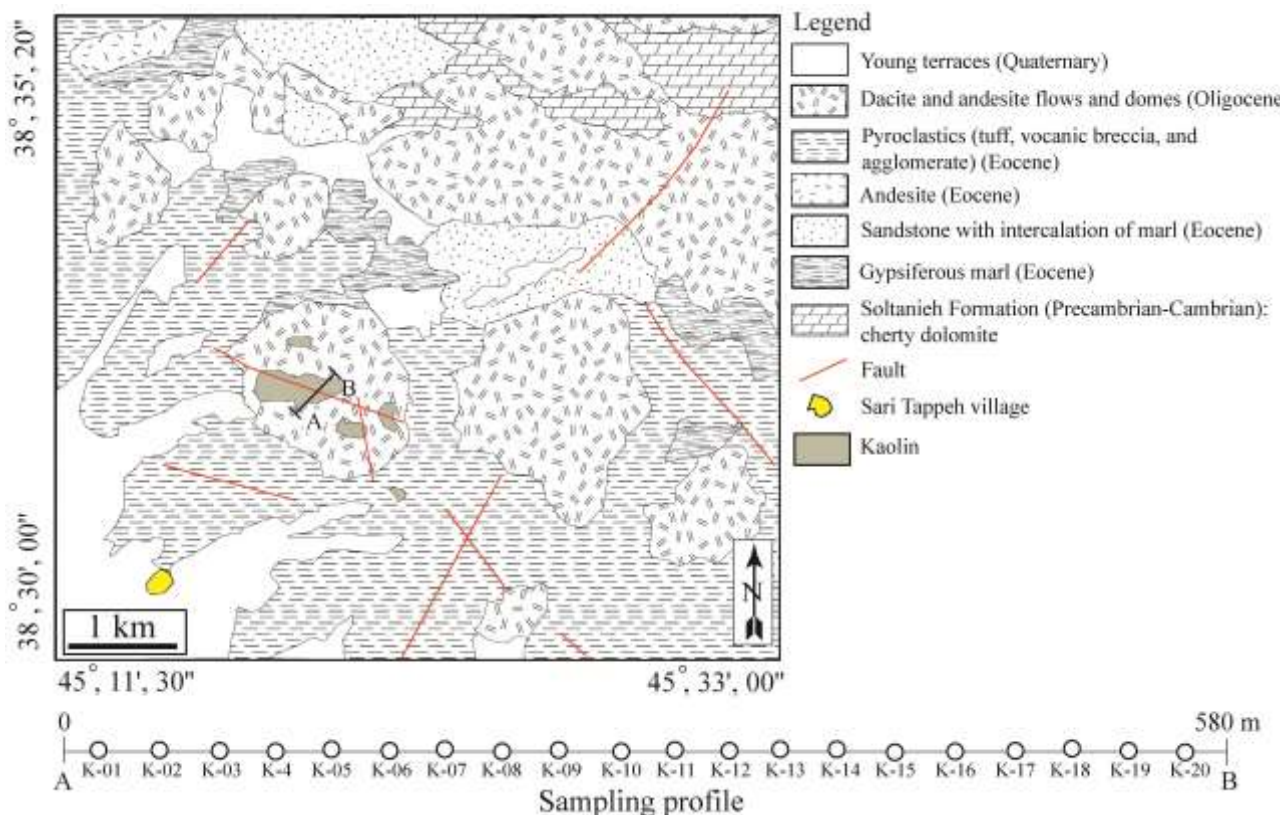
\*نویسنده مسئول، تلفن: ۰۴۴ ۲۲۹۷۲۱۳۴، پست الکترونیکی: abedini2020@yahoo.com

**زمین‌شناسی**  
ذخیره کائولن ساری‌تپه، در ۱۰ کیلومتری شمال‌شرق شهرستان مرنده، استان آذربایجان شرقی، شمال‌غرب واقع است. بر اساس تقسیمات پهنه‌های زمین‌ساختی ایران [۱۳]، ذخیره کائولن ساری‌تپه بخشی از پهنه البرز-آذربایجان به شمار می‌رود (شکل ۱). منطقه ساری‌تپه زمین‌شناسی به نسبت ساده‌ای دارد و سازندگان مربوط به گستره زمانی ائوسن-الیکوسن بخش قابل ملاحظه‌ای از آن را شامل می‌شوند. قدیمی‌ترین واحدهای سنگی این منطقه را دولومیت‌های خاکستری رنگ دارای نوارها و گرهک‌های چرت سازند سلطانیه به سن پرکامبرین-کامبرین تشکیل می‌دهند (شکل ۲). بیشترین تنوع سنگی در منطقه مورد بررسی مربوط به گستره زمانی ائوسن و شامل (۱) واحد مارن سنگ گچ‌دار، (۲) واحد ماسه‌سنگی با بین‌لایه‌های مارنی، (۳) واحد آندزیتی و (۴) واحد آذرآواری (توف، برش آتشفشاری و آگلومرا) است (شکل ۲). واحد سنگی الیکوسن در منطقه شامل گنبدهای آتشفشاری با ترکیب سنگ-شناسی آندزیت-داسیت است که بخش بزرگی از منطقه را شامل می‌شوند. جوانترین واحدهای سنگی منطقه پادگانه‌های جوان‌عهد حاضر هستند [۱۲].

دگرسانی گسترده چون آرژیلیک، سریسیتیک، پروپیلیتیک و سیلیسی، و ذخایر کائولن از دیرباز مورد توجه زمین‌شناسان بوده است [۱۰]. ویژگی‌های زمین‌شناسی و نوع‌های سنگی مختلف در این بخش از ایران در قالب تهیه نقشه‌های زمین‌شناسی ۱:۲۵۰۰۰۰ تبریز-پلدشت [۱۱] و ۱:۱۰۰۰۰۰ جلفا [۱۲] بررسی شده است. بر اساس پژوهش‌های انجام شده، در این بخش از ایران دو ذخیره شاخص به نام‌های زنوز و ساری‌تپه وجود دارند که تشکیل و گسترش آنها در ارتباط با دگرسانی سنگ‌های آتشفشاری سنتزوزیک است. از بین این دو ذخیره، ویژگی‌های کانی‌شناسی و زمین‌شیمیایی ذخیره کائولن زنوز به تفصیل بررسی گردیده است [۱۰]. این در حالی است که تا به حال پژوهش ویژه‌ای پیرامون ذخیره کائولن ساری‌تپه از نظر زمین‌شناسی اقتصادی انجام نشده است. در این پژوهش، بر پایه نتایج به دست آمده از بازدیدهای صحرایی و بررسی‌های آزمایشگاهی (کانی‌شناسی تجزیه‌ای، الگوی توزیع عناصر، محاسبه ضرایب همبستگی بین عناصر و نسبت‌های عنصری) نقش کانی‌ها و عوامل زمین‌شیمیایی در توزیع و تمرکز عناصر و نقش فرآیندهای درونزad و یا برونزad در تشکیل و گسترش ذخیره کائولن ساری‌تپه تعیین شده است.



شکل ۱ قرارگیری ذخیره کائولن ساری‌تپه در پهنه البرز-آذربایجان در نقشه پهنه‌بندی ساختاری ایران [۱۳].



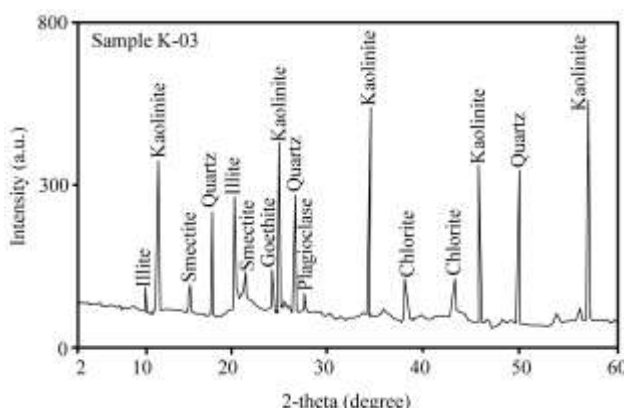
شکل ۲ نقشه زمین‌شناسی گستره ذخیره کائولن ساری‌تپه. نقشه پایه برگرفته از مرجع [۱۲] با کمی تغییرات است.

#### روش بررسی

این پژوهش در دو بخش صحرایی و آزمایشگاهی انجام شده است. در بخش صحرایی، پیمایش‌هایی به منظور بررسی ویژگی‌های فیزیکی ذخیره کائولن و ارتباط آن با سنگ‌های درونگیر صورت گرفت. سپس بر اساس نتایج به دست آمده، برای بررسی تغییرات کانی‌شناسی و زمین‌شیمیایی، نیمرخی به طول ۵۸۰ متر انتخاب و تعداد ۲۰ نمونه از ذخیره کائولن برداشت شد. در بخش آزمایشگاهی، نخست با استفاده از پراش سنج D-5000 مدل زیمنس (با پرتوی Cu ka $\alpha$ ، تکفام سازهای گرافیت ثابت شده، ولتاژ ۴۰ کیلو ولت، جریان ۴۰ میلی آمپر، سرعت روش ۲ درجه در دقیقه و گسترش روش ۲ تا ۶۰ درجه) ترکیب کانی‌شناسی هر ۲۰ نمونه کائولن در سازمان زمین‌شناسی و اکتشافاتمعدنی شمال غرب کشور بررسی شد. سپس، برای بررسی‌های زمین‌شیمیایی، ترکیب شیمیایی هر ۲۰ نمونه به روش‌های طیفسنجی نشر اتمی پلاسمای جفت شده القایی (ICP-AES) و طیفسنجی جرمی پلاسمای جفت شده القایی (ICP-MS) به ترتیب برای تعیین مقادیر عنصر

مهماًترین ویژگی زمین‌شناسی اقتصادی این منطقه رخداد پدیده کائولینیتی‌شدن در سنگ‌های آذرین آتش‌فشانی (آندرزیت - داسیت) الیگوسن است. پیمایش‌های صحرایی نشان می‌دهند که این ماده معدنی در ۴ موقعیت مجزا بروز نمود دارد. همیافتد بین گسل‌ها و بروزدهای کائولن به خوبی نقش کنترلی عوامل زمین‌ساختی در گسترش و تکامل این ذخیره را آشکار می‌کند. ذخیره کائولن ساری‌تپه در نمای کلی به رنگ غالب سفید و گاهی خاکستری کم رنگ دیده می‌شود که در کنار گسل‌ها، حالت پودری و ترد مانند دارد. درون این ذخیره، گاهی پهنه‌های باریکی از سیلیس دیده می‌شوند. این ماده معدنی با دور شدن از موقعیت گسل‌ها حالت سخت به خود می‌گیرد. از موارد گفتنی در مورد این ذخیره می‌توان به وجود آثاری از اکسیدهای منگنز به شکل‌های دارینه‌ای و کانی‌سازی‌هایی از پیریت، کالکوپیریت، هماتیت، گوتیت، سنگ گچ و باریت به صورت رگچه‌های نامنظم اشاره نمود. بالای این ذخیره، پوش سنگ سیلیسی دربردارنده کانه‌زایی سولفیدی (پیریت و کالکوپیریت) با ضخامت تا چهار متر دیده می‌شود.

کائولن ساری‌تپه هستند. فازهای فرعی شامل آلونیت، هالویزیت، اسمکتیت، ایلیت، کلریت، روتیل، پیریت، گوتیت و پلاژیوکلاز هستند (شکل ۳، جدول ۱). بررسی‌های بیشتر نشان می‌دهد که کانی‌های موجود در نیمرخ مورد بررسی را می‌توان به دو دسته تفکیک نمود. دسته اول شامل کانی‌های کائولینیت، کوارتز، آلونیت، هالویزیت، پیریت و روتیل هستند که در مرکز ذخیره تشکیل شده‌اند. دسته دوم با ترکیب کانی-شناسی کائولینیت، کوارتز، اسمکتیت، ایلیت، کلریت، گوتیت و پلاژیوکلاز در بخش‌های بیرونی ذخیره گسترش یافته است. وجود آلونیت بیانگر شرایط به شدت اکسایشی و محیط سولفیدی شدن قوی طی تشکیل ذخیره کائولن ساری‌تپه است [۱۵، ۱۶]. کانی‌های کائولینیت، هالویزیت، آلونیت، پیریت و کوارتز در مرکز نیمرخ مورد بررسی واپستگی ذخیره به دگرسانی آرژیلیک پیشرفت‌های را نشان می‌دهند. تشکیل و گسترش این انبوههای کانیایی به محلول‌های اسید سولفاتی واپسته هستند و در یک محیط سولفیدی شدن قوی در شرایط اسیدی (pH حدود ۲ تا ۴) ایجاد می‌شوند [۱۶-۲۰]. انبوههای کانیایی (کائولینیت، اسمکتیت، کوارتز و ایلیت) بخش‌های بیرونی ذخیره pH حدود ۵ تا ۶ را در سامانه‌های زمین‌گرمایی نشان می‌دهند [۲۱]. وجود این دو دسته انبوههای کانیایی به خوبی نشان می‌دهد که محلول‌های گرمابی اسید سولفاتی نقش مهمی در گسترش این ذخیره داشته که از مرکز به بیرون ذخیره در اثر واکنش با سنگ‌های درونگیر خنثی شده‌اند.



اصلی و جزئی در آزمایشگاه ALS Chemex کشور کانادا تعیین گردید. مقادیر مواد فرار (LOI) نمونه‌های کائولن در این آزمایشگاه بر اساس کاهش وزن یک گرم نمونه پس از گرمادهی ۹۵۰ درجه سانتی گراد به مدت ۹۰ دقیقه اندازه‌گیری شدند. گستره آشکارسازی برای عناصر اصلی (به صورت اکسید) ۰/۰۱ درصد وزنی، برای عناصر جزئی ۰/۱ تا ۰/۳ گرم در تن و برای عناصر خاکی نادر (REE) ۰/۰۱ تا ۰/۰۳ گرم در تن بوده است. در این پژوهش، برای بررسی درجه جدایش عناصر خاکی نادر و مقادیر بی‌هنجری‌های Ce و Eu از روابط زیر استفاده گردید. در این روابط، حرف N بهنجار شدن عناصر Ce، La، Eu، Sm و Pr به کندریت [۱۴] را نشان می‌دهد:

$$\text{LREE} = \text{La} + \text{Ce} + \text{Pr} + \text{Nd} + \text{Sm} + \text{Eu} \quad (1)$$

$$\text{HREE} = \text{Gd} + \text{Tb} + \text{Dy} + \text{Ho} + \text{Er} + \text{Tm} + \text{Yb} + \text{Lu} \quad (2)$$

$$(\text{LRREE}/\text{HREE})_{\text{N}} = (\text{LREE}/\text{HREE})_{\text{Kaolin}} / (\text{LREE}/\text{HREE})_{\text{Chondrite}} \quad (3)$$

$$(\text{La/Yb})_{\text{N}} = (\text{La/Yb})_{\text{Kaolin}} / (\text{La/Yb})_{\text{Chondrite}} \quad (4)$$

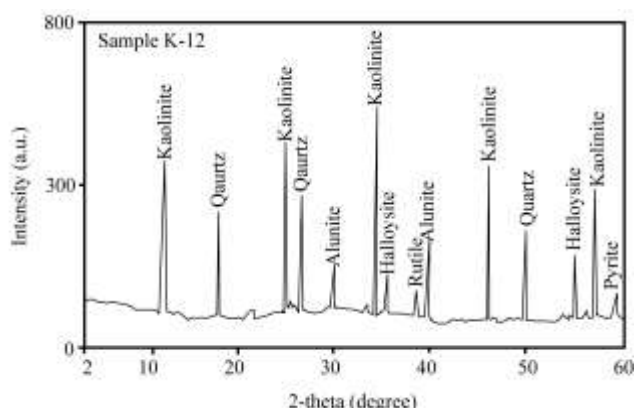
$$(\text{La/Lu})_{\text{N}} = (\text{La/Lu})_{\text{Kaolin}} / (\text{La/Lu})_{\text{Chondrite}} \quad (5)$$

$$\text{Eu/Eu}^* = 2\text{Eu}_{\text{N}} / (\text{Sm}_{\text{N}} + \text{Gd}_{\text{N}}) \quad (6)$$

$$\text{Ce/Ce}^* = 2\text{Ce}_{\text{N}} / (\text{La}_{\text{N}} + \text{Pr}_{\text{N}}) \quad (7)$$

### نتایج و بحث کانی‌شناسی

نتایج تجزیه‌های پراش پرتو X (XRD) نشان می‌دهند که کائولینیت و کوارتز دو فاز کانیایی اصلی تشکیل دهنده ذخیره



شکل ۳ الگوهای پراش پرتو X (XRD) برای دو نمونه بررسی شده (K-03 و K-12) از ذخیره کائولن ساری‌تپه.

جدول ۱ نتایج تجزیه‌های پراش پرتو X (XRD) برای نمونه‌های مورد بررسی از ذخیره کائولن ساری‌تپه.

کانی‌های فرعی	کانی‌های اصلی	
اسمکتیت، ایلیت، کلریت، پلاژیوکلاز، گوتیت	کائولینیت، کوارتز	K-01
اسمکتیت، ایلیت، پلاژیوکلاز	کائولینیت، کوارتز	K-02
اسمکتیت، ایلیت، پلاژیوکلاز، کلریت، گوتیت	کائولینیت، کوارتز	K-03
اسمکتیت، ایلیت، پلاژیوکلاز	کائولینیت، کوارتز	K-04
اسمکتیت، ایلیت، گوتیت، پلاژیوکلاز	کائولینیت، کوارتز	K-05
اسمکتیت، ایلیت، گوتیت، پلاژیوکلاز	کائولینیت، کوارتز	K-06
کوارتز، هالویزیت، آلونیت، روتیل	کائولینیت	K-07
کوارتز، آلونیت، هالویزیت، روتیل، پیریت	کائولینیت	K-08
کوارتز، آلونیت، روتیل، هالویزیت	کائولینیت	K-09
کوارتز، آلونیت، هالویزیت، پیریت، روتیل	کائولینیت	K-10
آلونیت، هالویزیت، روتیل	کائولینیت، کوارتز	K-11
آلونیت، هالویزیت، روتیل، پیریت	کائولینیت، کوارتز	K-12
آلونیت، هالویزیت، روتیل	کائولینیت، کوارتز	K-13
هالویزیت، آلونیت، روتیل	کائولینیت، کوارتز	K-14
کوارتز، هالویزیت، آلونیت، روتیل	کائولینیت	K-15
اسمکتیت، ایلیت، پلاژیوکلاز، گوتیت	کائولینیت، کوارتز	K-16
اسمکتیت، ایلیت، پلاژیوکلاز	کائولینیت، کوارتز	K-17
اسمکتیت، ایلیت، کلریت، پلاژیوکلاز، گوتیت	کائولینیت، کوارتز	K-18
اسمکتیت، ایلیت، کلریت، پلاژیوکلاز، گوتیت	کائولینیت، کوارتز	K-19
اسمکتیت، ایلیت، کلریت، پلاژیوکلاز، گوتیت	کائولینیت، کوارتز	K-20

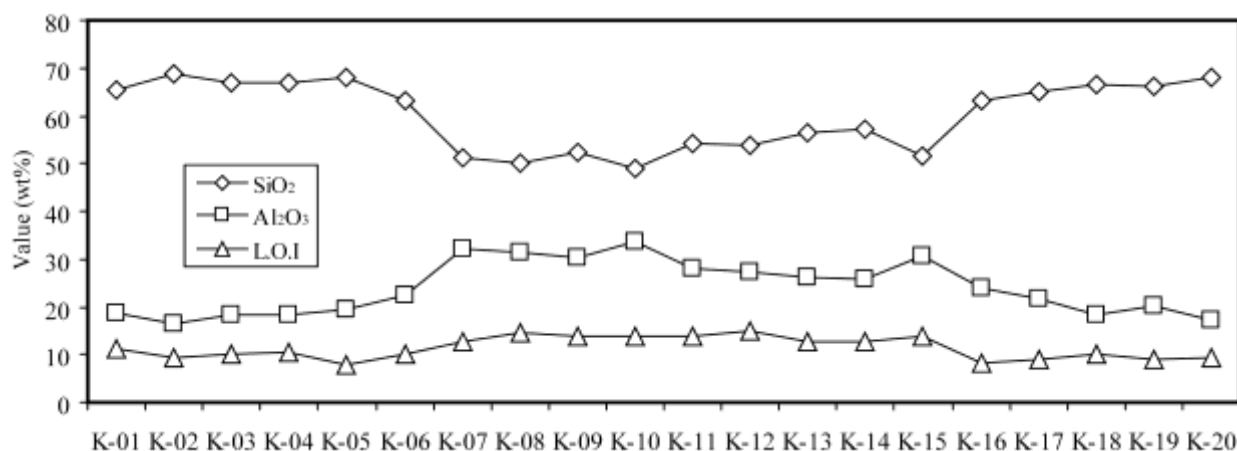
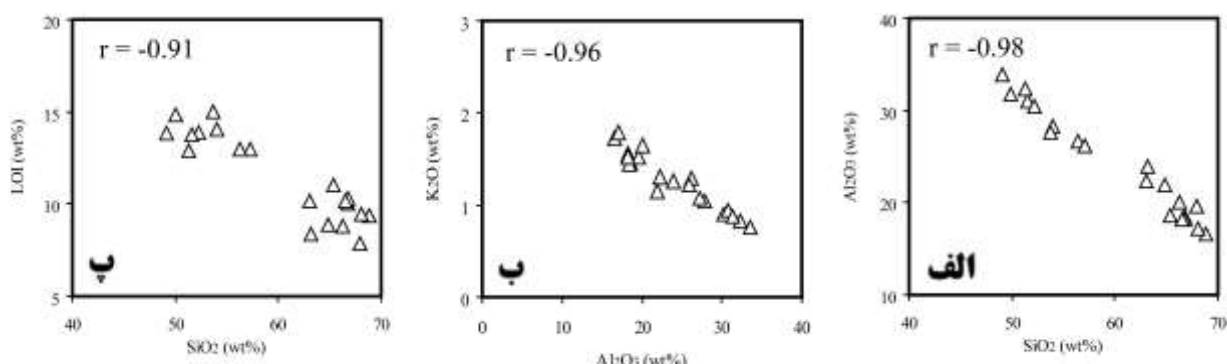
شدن در ساری‌تپه طی عملکرد فرآیندهای دگرسانی بر سنگ‌های آتش‌فشاری الیگوسن منطقه رخ داده است [۱۸، ۲۲، ۲۳]. مقادیر پایین CaO (۰/۲۱ تا ۰/۷۹ درصد وزنی)، MgO (۰/۰۵ تا ۰/۳۶ درصد وزنی) و Na<sub>2</sub>O (۰/۳۳ تا ۰/۸۸ درصد وزنی) شستشوی مهم عناصر قلیایی طی کائولینیتی شدن را نشان می‌دهد (شکل ۶). این رخداد به دلیل تحرك بالای این عناصر طی کائولینیتی شدن صورت گرفته و با سامانه دگرسانی آرژیلیک پیشرفت‌هه مربوط به ذخایر کائولن گرمابی هموانی Al<sub>2</sub>O<sub>3</sub>-Fe<sub>2</sub>O<sub>3</sub> دارد [۱، ۲۴-۲۶]. همبستگی منفی قوی بین Al<sub>2</sub>O<sub>3</sub>-Fe<sub>2</sub>O<sub>3</sub> (۰/۷۹ = -۰/۵، شکل ۷) نشان می‌دهد که آهن‌زادی از سازوکارهای موثر رخ داده طی تشکیل و تکامل ذخیره کائولن مورد بررسی بوده است.

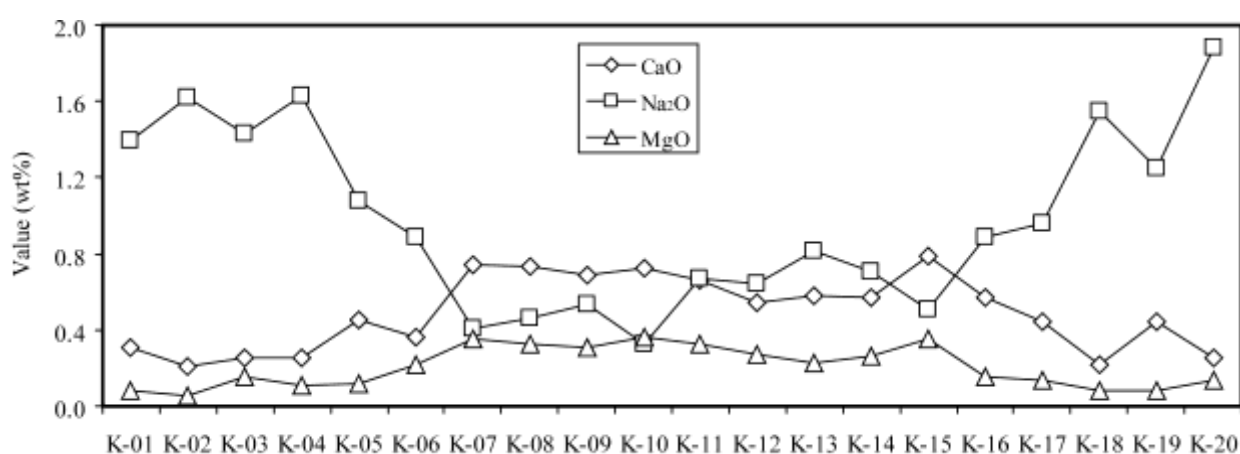
بر پایه محاسبات انجام شده، نسبت SiO<sub>2</sub>/Al<sub>2</sub>O<sub>3</sub> در نمونه‌های کائولن نیمرخ مورد بررسی در گستره ۱/۴۶ تا ۳/۹۸ در تغییر است. این مقادیر بیشتر از نسبت SiO<sub>2</sub>/Al<sub>2</sub>O<sub>3</sub> کائولینیت آرمانی (۰/۹۲ تا ۰/۱۰۸۲) [۲۷] است (شکل ۸). مقدار بیش از حد مجاز SiO<sub>2</sub> می‌تواند در ارتباط با رخداد پدیده سیلیسی شدن به ویژه در بخش‌های بیرونی ذخیره کائولن ساری‌تپه باشد [۲۸].

**زمین‌شیمی عناصر اصلی و LOI**  
مقادیر عناصر اصلی به همراه LOI در نمونه‌های کائولن ذخیره ساری‌تپه در جدول ۲ ارائه شده است. بر اساس این داده‌ها، SiO<sub>2</sub> (۰/۰۹ تا ۰/۴۹ درصد وزنی) و Al<sub>2</sub>O<sub>3</sub> (۰/۵۵ تا ۰/۱۶ درصد وزنی) به همراه LOI (۰/۸۵ تا ۰/۱۴ درصد وزنی) به خش عمده ترکیب شیمیایی ذخیره کائولن را تشکیل می‌دهند. سایر اجزاء شامل K<sub>2</sub>O، Na<sub>2</sub>O، Fe<sub>2</sub>O<sub>3</sub>، CaO، MnO، P<sub>2</sub>O<sub>5</sub>، TiO<sub>2</sub>، MgO و در مجموع ۰/۴۳ تا ۰/۱۹ درصد وزنی از ترکیب شیمیایی نمونه‌های مورد بررسی را تشکیل داده‌اند. افزایش مقدار Al<sub>2</sub>O<sub>3</sub> در بخش مرکزی ذخیره نسبت به بخش‌های بیرونی کاهش مقدار SiO<sub>2</sub> همراه است (شکل ۴)، دلیلی بر فرونی کائولینیت و شدت بالای دگرسانی در بخش مرکزی ذخیره نسبت به بخش‌های بیرونی است. ضرایب همبستگی بین اجزای اصلی و برخی از شاخص‌های محاسبه شده بر اساس عناصر اصلی، سیماهای زمین‌شیمیایی جالبی از ذخیره کائولن ساری‌تپه را آشکار می‌سازند. همبستگی‌های منفی قوی بین Al<sub>2</sub>O<sub>3</sub>-SiO<sub>2</sub> (-۰/۹۸)، SiO<sub>2</sub>-K<sub>2</sub>O (۰/۹۶)، Al<sub>2</sub>O<sub>3</sub>-Al<sub>2</sub>O<sub>3</sub> (۰/۹۰)، شکل ۵ (الف)، SiO<sub>2</sub>-P<sub>2</sub>O<sub>5</sub> (۰/۹۰)، شکل ۵ (ب) و LOI (۰/۹۱)، شکل ۵ (پ) نشان می‌دهند که کائولینیتی-

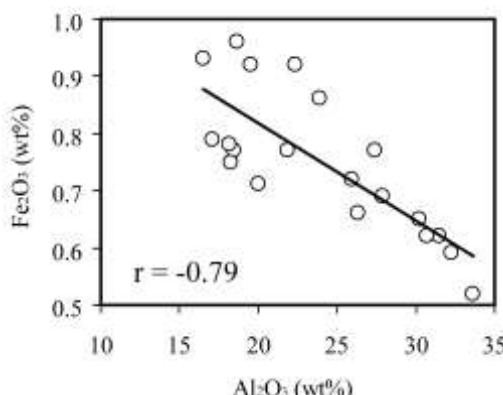
جدول ۲ مقادیر عناصر اصلی و LOI (بر حسب درصد وزنی) نمونه‌های مورد بررسی از ذخیره کائولن ساری‌تپه.

	SiO <sub>2</sub>	TiO <sub>2</sub>	Al <sub>2</sub> O <sub>3</sub>	Fe <sub>2</sub> O <sub>3</sub>	MnO	MgO	CaO	Na <sub>2</sub> O	K <sub>2</sub> O	P <sub>2</sub> O <sub>5</sub>	L.O.I	مجموع
حد آشکارسازی	۰,۰۱	۰,۰۱	۰,۰۱	۰,۰۱	۰,۰۱	۰,۰۱	۰,۰۱	۰,۰۱	۰,۰۱	۰,۰۱	-	-
K-01	۶۵,۳۵	۰,۰۸	۱۸,۶۳	۰,۹۶	۰,۱۸	۰,۰۸	۰,۳۱	۱,۳۹	۱,۴۶	۰,۱۷	۱۱,۰۶	۹۹,۶۷
K-02	۶۸,۸۲	۰,۰۸	۱۶,۵۵	۰,۹۳	۰,۱۶	۰,۰۵	۰,۲۱	۱,۶۲	۱,۷۳	۰,۱۲	۹,۴۱	۹۹,۶۸
K-03	۶۶,۸۲	۰,۱۲	۱۸,۴۵	۰,۷۷	۰,۱۷	۰,۱۵	۰,۲۵	۱,۴۳	۱,۴۴	۰,۱۱	۹,۹۹	۹۹,۷۱
K-04	۶۶,۷۳	۰,۱۵	۱۸,۲۵	۰,۷۵	۰,۱۵	۰,۱۱	۰,۲۵	۱,۶۳	۱,۵۶	۰,۰۸	۱۰,۳۲	۹۹,۹۸
K-05	۶۷,۸۹	۰,۲۲	۱۹,۵۵	۰,۹۲	۰,۱۷	۰,۱۲	۰,۴۵	۱,۰۸	۱,۵۲	۰,۰۸	۷,۸۵	۹۹,۸۶
K-06	۶۳,۰۹	۰,۳۲	۲۲,۳۱	۰,۹۲	۰,۲۲	۰,۲۲	۰,۳۶	۰,۸۹	۱,۳۱	۰,۰۹	۱۰,۱۵	۹۹,۸۸
K-07	۵۱,۳۳	۰,۴۱	۲۲,۲۶	۰,۶۹	۰,۲۶	۰,۲۵	۰,۷۴	۰,۴۱	۰,۸۱	۰,۰۶	۱۲,۷۳	۹۹,۹۵
K-08	۵۰,۰۶	۰,۳۶	۳۱,۵۲	۰,۶۲	۰,۲۶	۰,۲۳	۰,۷۳	۰,۴۶	۰,۸۵	۰,۰۷	۱۴,۷۳	۹۹,۹۹
K-09	۵۲,۲۴	۰,۳۵	۳۰,۲۳	۰,۶۵	۰,۲۵	۰,۳۱	۰,۶۹	۰,۵۳	۰,۸۸	۰,۰۵	۱۳,۷۸	۹۹,۹۶
K-10	۴۹,۰۹	۰,۴۲	۳۳,۶۶	۰,۵۲	۰,۲۸	۰,۳۶	۰,۷۲	۰,۳۳	۰,۷۴	۰,۰۶	۱۳,۷۵	۹۹,۹۳
K-11	۵۴,۰۴	۰,۳۳	۲۷,۸۹	۰,۶۹	۰,۲۵	۰,۳۳	۰,۶۶	۰,۶۷	۱,۰۱	۰,۰۵	۱۳,۹۳	۹۹,۸۵
K-12	۵۳,۷۴	۰,۳۴	۲۷,۴۱	۰,۷۷	۰,۲۵	۰,۲۷	۰,۵۴	۰,۶۴	۱,۰۵	۰,۰۶	۱۴,۸۹	۹۹,۹۶
K-13	۵۶,۵۳	۰,۲۹	۲۶,۳۲	۰,۶۶	۰,۲۲	۰,۲۳	۰,۵۸	۰,۸۱	۱,۲۶	۰,۰۴	۱۲,۸۸	۹۹,۸۲
K-14	۵۷,۲۱	۰,۲۷	۲۵,۹۷	۰,۷۲	۰,۲۵	۰,۲۶	۰,۵۷	۰,۷۱	۱,۱۹	۰,۰۴	۱۲,۸۶	۱۰۰,۱۰
K-15	۵۱,۵۹	۰,۳۶	۳۰,۷۵	۰,۶۲	۰,۲۸	۰,۳۵	۰,۷۹	۰,۵۱	۰,۹۱	۰,۰۴	۱۳,۷۲	۹۹,۹۲
K-16	۶۳,۲۳	۰,۲۹	۲۳,۸۷	۰,۸۶	۰,۲۱	۰,۱۵	۰,۵۷	۰,۸۹	۱,۲۶	۰,۱۴	۸,۳۹	۹۹,۸۶
K-17	۶۴,۸۷	۰,۳۳	۲۱,۸۵	۰,۷۷	۰,۱۹	۰,۱۴	۰,۴۴	۰,۹۶	۱,۱۵	۰,۱۳	۸,۹۱	۹۹,۷۴
K-18	۶۶,۵۵	۰,۲۲	۱۸,۱۹	۰,۷۸	۰,۱۶	۰,۱۸	۰,۲۲	۱,۰۵	۱,۰۲	۰,۱۱	۱۰,۱۹	۹۹,۵۸
K-19	۶۶,۲۳	۰,۲۳	۲۰,۰۶	۰,۷۱	۰,۱۸	۰,۰۸	۰,۴۴	۱,۲۵	۱,۶۵	۰,۰۹	۸,۷۹	۹۹,۷۱
K-20	۶۸,۰۵	۰,۰۸	۱۷,۱۱	۰,۷۹	۰,۱۷	۰,۱۴	۰,۲۵	۱,۸۸	۱,۷۹	۰,۰۹	۹,۴۲	۹۹,۷۷

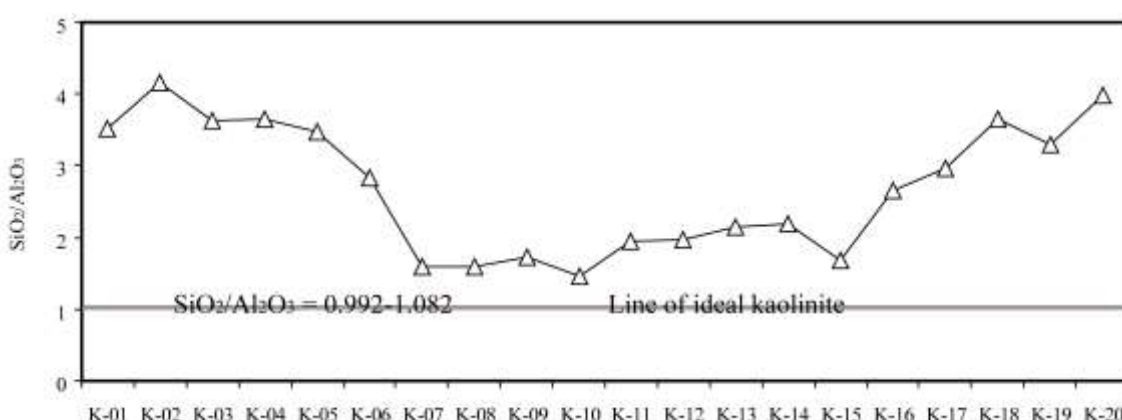
شکل ۴ روند توزیع و تغییرات مقادیر SiO<sub>2</sub>, Al<sub>2</sub>O<sub>3</sub> و LOI در نمونه‌های بررسی شده از ذخیره کائولن ساری‌تپه.شکل ۵ نمودارهای دو متغیره Al<sub>2</sub>O<sub>3</sub>-SiO<sub>2</sub> (الف)، K<sub>2</sub>O-Al<sub>2</sub>O<sub>3</sub> (ب) و SiO<sub>2</sub>-LOI (پ) برای نمونه‌های بررسی شده از ذخیره کائولن ساری‌تپه.



شکل ۶ روند تغییرات مقادیر  $\text{Na}_2\text{O}$ ,  $\text{MgO}$  و  $\text{CaO}$  در نمونه‌های بررسی شده از ذخیره کائولن ساری‌تپه.



شکل ۷ نمودار دو متغیره  $\text{Al}_2\text{O}_3$  نسبت به  $\text{Fe}_2\text{O}_3$  برای نمونه‌های بررسی شده از ذخیره کائولن ساری‌تپه.



شکل ۸ روند تغییرات مقدار  $\text{SiO}_2/\text{Al}_2\text{O}_3$  در نمونه‌های بررسی شده از ذخیره کائولن ساری‌تپه که مقادیر بالای این نسبت در نمونه‌های ساری‌تپه در مقایسه با کائولینیت آلمانی [۲۷] نشانگر رخداد پدیده سیلیسی شدن در ذخیره به ویژه در بخش‌های بیرونی آن است.

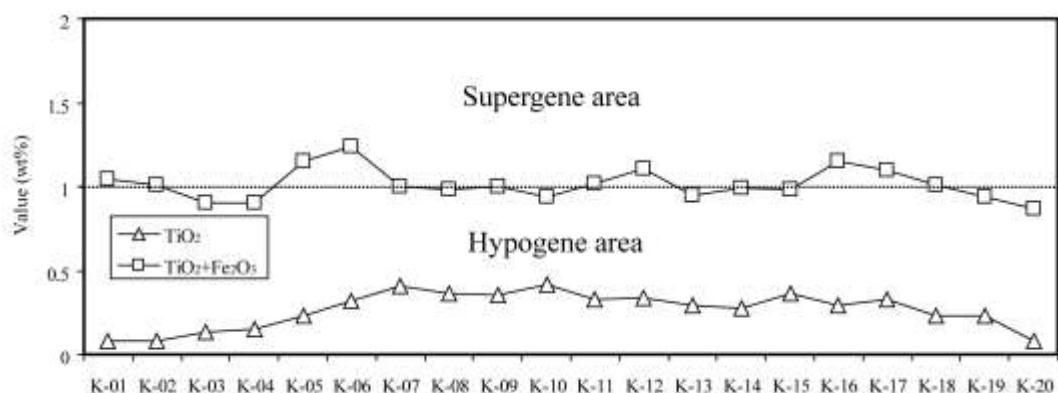
فرایندهای درونزد و برونزد در گسترش ذخایر کائولن هستند [۱، ۲۶، ۲۹]. مقادیر  $\text{TiO}_2$  در نمونه‌های کائولن مورد بررسی در گستره ۰،۰۸ تا ۰،۴۲ درصد وزنی در نوسان بوده که گویای بر نقش ارزنده محلول‌های درونزد در گسترش و تکامل

براساس بررسی‌های شده، برخی از شاخص‌های زمین‌شیمیایی چون مقادیر  $\text{Fe}_2\text{O}_3 + \text{TiO}_2$  می‌توانند برای تعیین نوع محلول‌های مسئول کائولینیتی شدن استفاده شوند. مقادیر کمتر و بیشتر از ۱ برای این دو عامل به ترتیب بیانگر نقش موثر

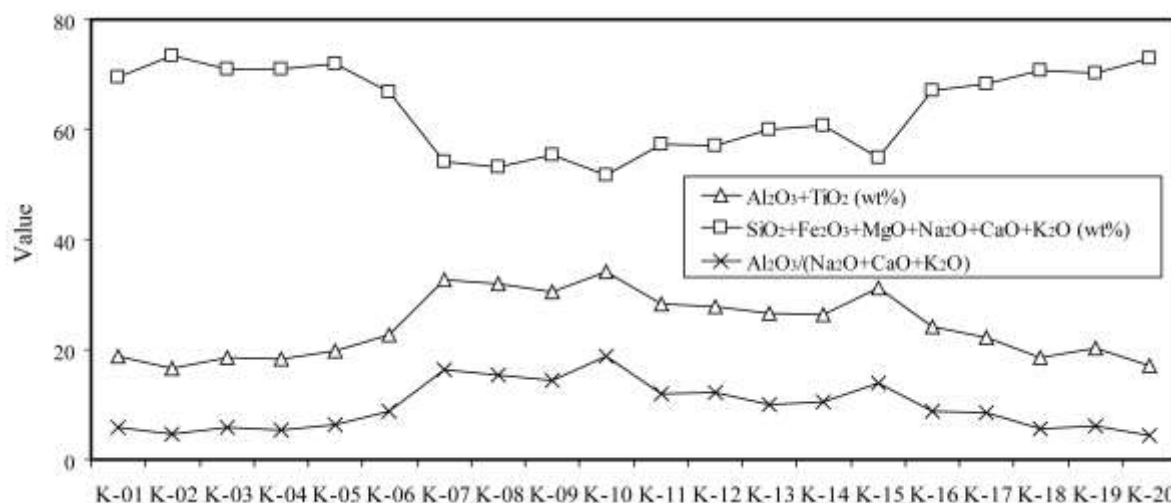
مرکز ذخیره در شرایط محیطی اسیدی در یک سامانه باز هیدرولیکی است (شکل ۱۰) [۳۱-۳۳]. افزون بر این، افزایش مقدار  $\text{SiO}_2+\text{Fe}_2\text{O}_3+\text{MgO}+\text{Na}_2\text{O}+\text{CaO}+\text{K}_2\text{O}$  و کاهش مقدار  $\text{Al}_2\text{O}_3+\text{TiO}_2$  از بخش مرکزی به سمت بخش‌های بیرونی ذخیره نشان دهنده تشکیل کائولینیت در یک محیط اسیدی در مرکز ذخیره و تشکیل اسمنتیت در شرایط قلیایی در کناره ذخیره است (شکل ۱۰) [۳۱-۳۳]. این تفسیر با کانی‌شناسی ذخیره همخوانی دارد. به بیان دیگر، تغییرات سه شاخص یاد شده به خوبی نشانگر نقش موثر محلول‌های اسیدی در تشکیل این ذخیره است. این محلول‌های اسیدی با دور شدن از مرکز ذخیره به بخش‌های بیرونی به دلیل کاهش دما و واکنش با سنگ‌های درونگیر با افزایش  $\text{pH}$  همراه شده‌اند.

ذخیره ساری‌تپه است (شکل ۹). این در حالی است که مقدار  $\text{Fe}_2\text{O}_3+\text{TiO}_2$  در نمونه‌های مورد بررسی در گستره‌ی ۰/۸۷ تا ۱/۲۴ درصد وزنی در تغییر است که به نوبه خود نقش هر دو فرآیند درونزاد و برونزاد در رخداد ذخیره کائولن را نشان می‌دهد (شکل ۹). شاخص‌های زمین‌شیمیایی دیگری چون  $(\text{Al}_2\text{O}_3)/(\text{Na}_2\text{O}+\text{CaO}+\text{K}_2\text{O})$

$\text{SiO}_2+\text{Fe}_2\text{O}_3+\text{MgO}+\text{Na}_2\text{O}+\text{CaO}+\text{K}_2\text{O}$  و  $\text{Al}_2\text{O}_3+\text{TiO}_2$  می‌توانند اطلاعات خوبی از روند تغییرات  $\text{pH}$  محلول‌های دگرسان کننده و تغییرات کانی‌شناسی در ذخایر کائولن را ارائه کنند [۳۱-۳۳]. افزایش نسبت  $(\text{Al}_2\text{O}_3)/(\text{Na}_2\text{O}+\text{CaO}+\text{K}_2\text{O})$  در مرکز ذخیره و کاهش این نسبت به سمت بیرون ذخیره بیانگر ترسیب کائولینیت در



شکل ۹ روند تغییرات مقادیر  $\text{TiO}_2$  و  $\text{TiO}_2+\text{Fe}_2\text{O}_3$  در نمونه‌های مورد بررسی از ذخیره کائولن ساری‌تپه. در این شکل مرز بین دو محیط درونزاد و برونزاد برگرفته از مراجع [۱، ۲۹] است.



شکل ۱۰ روند تغییرات مقادیر  $\text{SiO}_2+\text{Fe}_2\text{O}_3+\text{MgO}+\text{Na}_2\text{O}+\text{CaO}+\text{K}_2\text{O}$ ،  $\text{Al}_2\text{O}_3+\text{TiO}_2$  در نمونه‌های بررسی شده از ذخیره کائولن ساری‌تپه.

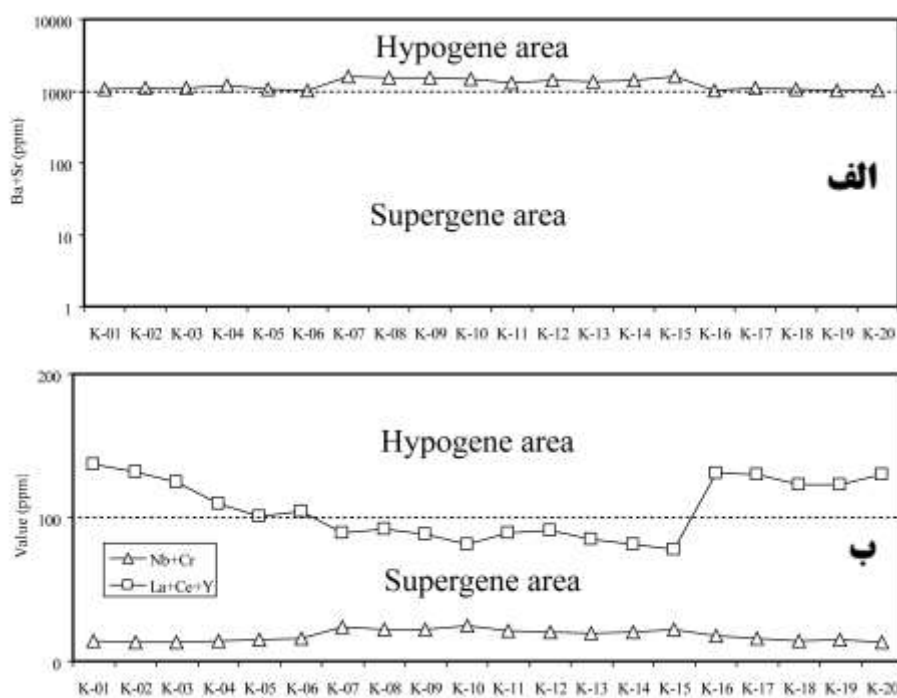
بر اساس ضرایب همبستگی محاسبه شده، می‌توان توزیع عناصر جزئی در ذخیره کائولن ساری‌تپه را در چهار دسته کلی تفکیک نمود. دسته اول عناصری چون Ni, V, Y و U هستند که همبستگی مثبت متوسط تا قوی با  $r = 0.74 - 0.89$  ( $\text{Fe}_2\text{O}_3$ ) دارند. این همبستگی‌ها به روشنی نقش کنترلی کانی فرعی گوتیت در توزیع این عناصر جزئی در اثر عملکرد فرآیند روبش را آشکار می‌نمایند [۳۶، ۳۷]. دسته دوم شامل عناصری چون Hf و Zr با  $r = 0.85 - 0.99$  ( $\text{Al}_2\text{O}_3$ ) و مثبت متوسط تا قوی با  $r = 0.74 - 0.89$  ( $\text{TiO}_2$ ) دارند. این روابط عنصری به خوبی نقش کانی‌های رسی به واسطه فرآیندهای جذب سطحی و روتیل به واسطه جانشینی دیادوکی در تمرکز این عناصر جزئی Ba, Sr و Cs است که همبستگی‌های مثبت متوسط تا قوی با  $r = 0.65 - 0.96$  ( $\text{Al}_2\text{O}_3$ ) دارند. این همبستگی بیانگر نقش کنترلی کانی‌های رسی در تمرکز این عناصر جزئی است. دسته چهارم شامل Rb است که همبستگی مثبت متوسط با  $K_2\text{O}$   $r = 0.63$  دارد. این رابطه به نوبه خود نقش کنترلی کانی ایلیت در توزیع و تمرکز Rb در ذخیره کائولن را به خوبی نمایان می‌سازد [۱۷].

### زمین‌شیمی عناصر جزئی

تجزیه‌های شیمیابی نشان می‌دهند که بالاترین تمرکز عناصر جزئی در نمونه‌های مورد بررسی مربوط به Sr (۴۳۶/۶ تا ۸۵۴/۲ گرم در تن)، Ba (۴۳۰ تا ۸۴۹ گرم در تن) و Zr (۲۰۳/۱ تا ۳۹۴/۵ گرم در تن) است (جدول ۳). این در حالی است که فراوانی عناصری چون Cr (۱۴ تا ۳۲ گرم در تن)، Nb (۱۲/۸ تا ۲۱/۶ گرم در تن) و Y (۲۸/۱ تا ۴۴/۴ گرم در تن) کمتر است (جدول ۳). به طور معمول، مقادیر Ba و Sr با Zr همراه با مقادیر به نسبت پایین Cr, Nb و Y در نمونه‌های مورد بررسی بیانگر خاستگاه درونزاد ذخیره کائولن ساری‌تپه است. این تفاسیر با مقادیر برحی از شاخص‌های زمین‌شیمیابی چون Nb+Cr و Ba+Sr همخوانی ندارد؛ در نمونه‌های مورد بررسی، مقادیر این دو عامل به ترتیب در گستره از ۱۰۱۱/۶ تا ۱۶۰۴/۲ و ۱۳۳ تا ۲۵۲ گرم در تن در تغییر است (شکل ۱۱) که با مقادیر Ba+Sr بیشتر از ۱۰۰۰ گرم در تن و مقادیر Nb+Cr کمتر از ۱۰۰ گرم در تن محیط‌های درونزاد همخوانی دارد [۱]. از نظر تمرکز عناصر یاد شده، ذخیره کائولن ساری‌تپه بیشترین شباهت را به کانسارهای کائولن هیزه‌جان و تاتروس ایران [۳۴، ۳۵]، کاراکایر ترکیه [۲۸]، لوهرهایم پرو [۱]، و پنینسولار مالزی [۶] دارد.

جدول ۳ مقادیر عناصر جزئی (بر حسب گرم در تن) در نمونه‌های مورد بررسی از ذخیره کائولن ساری‌تپه.

	Cr	U	Th	Ba	Hf	Co	Nb	Cs	Rb	V	Ga	Ta	Sr	Zn	Y	Cu	Sc	Zr	Pb	Ni
Detection	۱۰	.۱	.۲	۱	.۱	.۲	.۱	.۱	.۱	.۱	.۵	.۱	.۵	۱	.۱	.۱	.۱	.۱	.۱	۲۰
K-01	۱۸	۲/۳	۱۶/۲	۵۲/۷	۲/۹	۱/۶	۱۳/۶	.۵	۲/۸	۲/۹	۴۰/۲	.۸	۵۲۵/۶	۱۲/۰	۳۸/۶	۱۱۲/۵	۳/۰	۲۲۱/۵	۸۲/۳	۷/۱
K-02	۱۷	۳/۶	۱۴/۳	۴۹/۱	۲/۷	۱/۲	۱۲/۹	.۶	۲/۷	۲/۷	۳۵/۸	.۸	۵۹۹/۶	۱۱/۶	۳۷/۸	۱۰۴/۳	۲/۹	۲۰۳/۱	۷۱/۸	۵/۳
K-03	۱۶	۳/۳	۱۵/۹	۵۲/۶	۲/۸	۲/۵	۱۳/۲	.۴	۲/۹	۲/۱	۴۳/۵	.۹	۵۶۰/۱	۱۴/۵	۳۹/۲	۱۱۳/۳	۳/۱	۲۲۴/۹	۷۰/۶	۵/۰
K-04	۱۴	۲/۸	۱۵/۷	۵۲/۹	۲/۹	۱/۸	۱۳/۵	.۷	۲/۸	۲/۶	۴۲/۷	.۹	۶۷۸/۸	۱۱/۰	۳۷/۳	۱۰۶/۶	۳/۰	۲۲۳/۳	۶۹/۶	۳/۹
K-05	۲۲	۳/۸	۱۷/۱	۴۳/۰	۴/۰	۱/۶	۱۴/۶	.۵	۲/۷	۲/۹	۴۷/۳	.۹	۶۱۵/۲	۹/۸	۳۴/۹	۹۹/۶	۳/۱	۲۳۹/۵	۷۳/۵	۶/۵
K-06	۲۳	۳/۶	۱۸/۲	۴۴/۸	۴/۲	۲/۱	۱۵/۳	.۶	۲/۶	۲/۵	۴۵/۵	۱/۲	۵۷۱/۴	۷/۸	۴۴/۴	۸۸/۸	۳/۱	۲۷۸/۱	۷۸/۲	۷/۸
K-07	۲۷	۲/۸	۲۵/۸	۷۵/۱	۴/۸	۳/۵	۲۰/۶	۳/۲	۲/۶	۱/۶	۶۲/۴	۱/۳	۸۴۷/۸	۶/۷	۲۹/۹	۷۹/۹	۳/۵	۳۷۹/۵	۷۳/۷	۲/۸
K-08	۲۸	۳/۱	۲۴/۹	۷۵/۵	۴/۷	۳/۴	۱۹/۵	۲/۸	۲/۵	۲/۱	۶۲/۵	۱/۲	۷۵۱/۲	۹/۹	۳۰/۷	۸۴/۱	۳/۶	۳۷۱/۵	۶۴/۴	۳/۲
K-09	۲۸	۳/۲	۲۴/۲	۸۴/۹	۴/۷	۳/۱	۱۹/۹	۲/۵	۲/۸	۱/۶	۵۶/۸	۱/۳	۶۵۸/۶	۹/۷	۳۲/۳	۷۶/۳	۳/۸	۳۵۶/۵	۷۳/۶	۳/۵
K-10	۲۴	۲/۵	۲۶/۱	۸۴/۸	۴/۹	۴/۱	۲۱/۶	۳/۶	۲/۴	۱/۶	۶۳/۵	۱/۵	۶۳۹/۹	۷/۸	۲۸/۱	۸۳/۲	۳/۹	۳۹۴/۵	۶۲/۶	۲/۳
K-11	۳۱	۳/۲	۲۲/۱	۶۴/۷	۴/۷	۲/۹	۱۹/۲	۲/۱	۲/۵	۱/۷	۵۰/۱	۱/۱	۶۶۹/۴	۸/۹	۳۶/۰	۹۴/۴	۳/۵	۳۲۱/۵	۵۲/۲	۴/۴
K-12	۲۴	۲/۹	۲۲/۶	۷۰/۲	۴/۵	۳/۱	۱۸/۶	۱/۸	۲/۴	۲/۰	۵۴/۲	۱/۴	۷۱۰/۳	۹/۵	۳۸/۰	۸۷/۵	۳/۸	۳۲۹/۰	۵۶/۳	۵/۱
K-13	۲۶	۲/۷	۲۱/۹	۶۵/۹	۴/۶	۳/۶	۱۷/۶	۲/۱	۲/۷	۱/۲	۵۱/۳	۱/۱	۷۰۸/۱	۸/۴	۳۴/۰	۹۶/۳	۳/۲	۳۱۴/۵	۵۷/۱	۳/۴
K-14	۲۴	۲/۲	۲۰/۳	۶۹/۶	۴/۵	۲/۹	۱۸/۳	۱/۷	۲/۴	۲/۲	۵۴/۷	۱/۳	۷۲۲/۱	۸/۲	۳۲/۴	۸۳/۲	۲/۲	۳۱۱/۵	۵۳/۶	۴/۶
K-15	۳۲	۲/۹	۲۲/۶	۷۵/۰	۴/۶	۳/۲	۱۹/۳	۲/۶	۲/۴	۱/۲	۶۱/۵	۱/۲	۸۰۴/۲	۸/۳	۲۱/۲	۷۴/۳	۲/۲	۳۶۳/۰	۶۶/۵	۳/۷
K-16	۲۶	۳/۵	۱۸/۲	۵۵/۲	۴/۳	۲/۵	۱۶/۵	۱/۲	۲/۶	۲/۴	۴۸/۶	۱/۳	۴۶۶/۵	۸/۶	۳۵/۲	۷۳/۵	۳/۲	۲۸۱/۵	۵۵/۸	۴/۲
K-17	۲۵	۳/۳	۱۷/۹	۶۴/۵	۴/۱	۲/۵	۱۴/۶	۱/۶	۲/۳	۲/۲	۴۴/۲	۱/۲	۴۶۸/۷	۹/۴	۳۵/۵	۶۶/۳	۳/۴	۲۵۸/۹	۵۷/۵	۴/۸
K-18	۲۴	۳/۶	۱۵/۷	۶۳/۶	۳/۸	۲/۷	۱۳/۳	۰/۶	۲/۹	۲/۵	۴۰/۶	۱/۱	۴۴۶/۵	۹/۸	۳۸/۹	۶۵/۲	۲/۸	۲۱۶/۳	۶۰/۶	۴/۵
K-19	۲۸	۳/۳	۱۶/۳	۵۶/۳	۴/۱	۲/۱	۱۳/۹	۰/۸	۲/۷	۲/۲	۳۹/۶	۰/۹	۴۶۷/۷	۹/۴	۳۷/۶	۷۸/۳	۳/۲	۲۴۹/۶	۵۸/۳	۴/۳
K-20	۳۱	۳/۵	۱۵/۱	۵۷/۵	۲/۹	۲/۶	۱۲/۸	۰/۵	۲/۸	۲/۴	۳۹/۸	۰/۹	۴۳۶/۶	۹/۵	۴۲/۱	۸۵/۱	۳/۰	۲۰۹/۱	۵۹/۶	۵/۵



شکل ۱۱ روند تغییرات مقادیر (الف) Ba+Sr و (ب) La+Ce+Y در نمونه‌های مورد بررسی از ذخیره کائولن ساری‌په، در این اشکال مرز بین دو محیط درونزاد و برونزاد برگرفته از مرجع [۱] است.

معابر موجود (گسل‌ها) وارد سنگ‌های درونگیر شده و با دگرسانی کانی‌ها سبب تشکیل ذخیره شده‌اند. این محلول‌های به دلیل قدرت اسیدی بالای خود سبب شستشوی LREE‌ها از مرکز ذخیره شده و با کاهش دما و واکنش سیال‌ها با سنگ‌های درونگیر به سمت بیرون ذخیره خنثی شده‌اند. خنثی شدن pH سیال‌ها زمینه لازم برای ترسیب LREE‌ها در بخش‌های بیرونی ذخیره را فراهم نموده است.

بررسی درجه جدایش REE‌ها می‌تواند به عنوان معیار مناسبی برای تعیین شرایط فیزیکوشیمیابی تشکیل کانسارهای کائولن استفاده شود [۳]. محاسبات انجام شده نشان می‌دهد که مقادیر  $N$  (LREE/HREE) $_N$  و  $(La/Yb)_N$  در نمونه‌های مورد بررسی به ترتیب در گستره ۳/۰۳ تا ۱۲/۷۳ و ۳/۷۸ تا ۳۴/۹۱ متغیر است (جدول ۵). مقادیر این نسبت‌ها در بخش‌های بیرونی ذخیره بیشتر از بخش مرکزی است (شکل ۱۳). به بیان دیگر، از مرکز به سمت بیرون ذخیره، مقدار LREE‌ها نسبت به HREE‌ها روند افزایشی دارد. بر اساس یافته‌های به دست آمده اخیر [۸]، افزایش مقادیر نسبت‌های  $N$  (LREE/HREE) $_N$  و  $(La/Yb)_N$  در محیط دگرسانی وابسته به افزایش pH محلول‌های دگرسان کننده است. از این رو، به نظر می‌رسد که

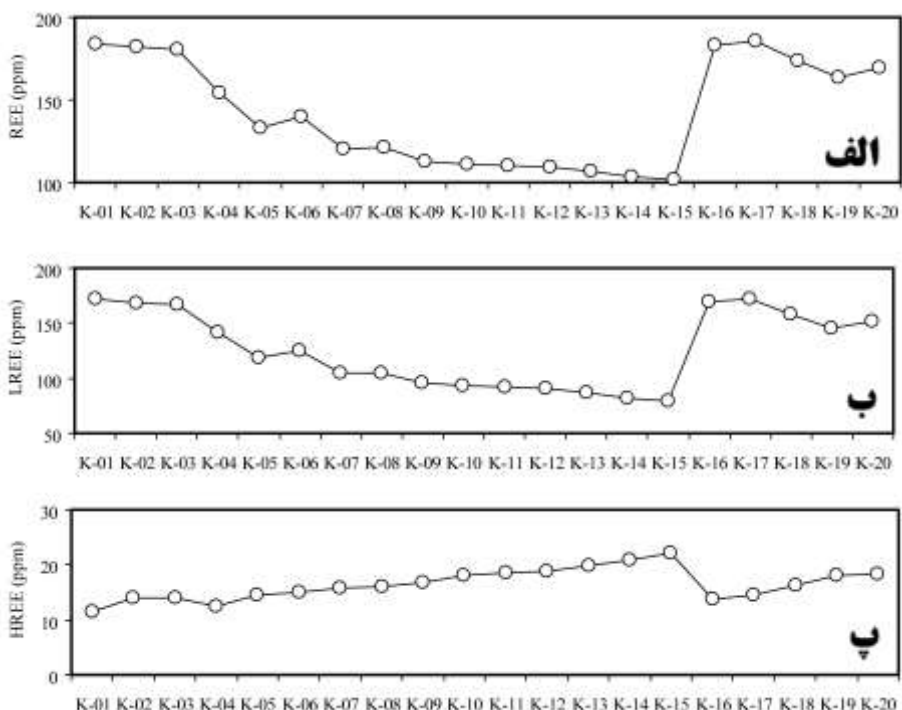
زمین شیمی عناصر خاکی نادر REE‌ها در نمونه‌های مورد بررسی در جدول ۴ آورده شده است. نتایج تجزیه‌های شیمیابی نشان می‌دهند که مقادیر REE‌ها در نمونه‌های کائولن در گستره ۱۰۳/۱۸ تا ۱۸۵/۸۲ گرم در تن متغیر است (شکل ۱۲ الف). مقادیر LREE‌ها و HREE‌ها در نمونه‌ها به ترتیب دارای گستره تغییراتی از ۷۹/۳۳ تا ۱۷۲/۵۹ گرم در تن و ۱۱/۵۱ تا ۲۲/۲۴ گرم در تن هستند (شکل‌های ۱۲ ب و پ). روند توزیع لانتانیدها در نیمرخ مورد بررسی نشان می‌دهد که مرکز LREE‌ها از مرکز به سمت بخش‌های بیرونی ذخیره افزایش می‌یابد (شکل ۱۲ ب). این در حالی است که بیشترین مرکز HREE‌ها در کل نیمرخ مربوط به بخش مرکزی ذخیره است (شکل ۱۲ پ). بررسی های انجام شده نشان می‌دهد که LREE‌ها در pH‌های اسیدی شسته شده و در pH‌های خنثی تا قلیابی ترسیب می‌شوند [۳۹]. این امر از آنجا ناشی می‌شود که HREE‌ها با افزایش pH محیط، کمپلکس‌های پایدارتری نسبت به LREE‌ها تشکیل می‌دهند [۳۸]. از این رو به نظر می‌رسد که رفتارهای متضاد LREE‌ها با HREE‌ها در نیمرخ مورد بررسی از آنجا ناشی می‌شود که محلول‌های اسیدی با pH پایین (درونزاد) از

گوتیت که توانایی بالایی در جذب ترجیحی LREE‌ها دارند، می‌توان چنین گفت که کنترل کانیابی و افزایش pH نقش مهمی در جدایش لانتانیدها در ذخیره کائولن ساری‌تپه داشته‌اند [۳].

محلول‌های درونزad با دور شدن از مرکز سامانه دگرسانی در اثر واکنش با سنگ‌های درونگیر و کاهش دما، به دلیل افزایش pH باعث ترسیب LREE‌ها در بخش‌های بیرونی ذخیره شده‌اند. با توجه به وجود کانی‌هایی چون کائولینیت، اسمکتیت، ایلیت و

جدول ۴ مقادیر REE‌ها (بر حسب گرم در تن) در نمونه‌های مورد بررسی از ذخیره کائولن ساری‌تپه.

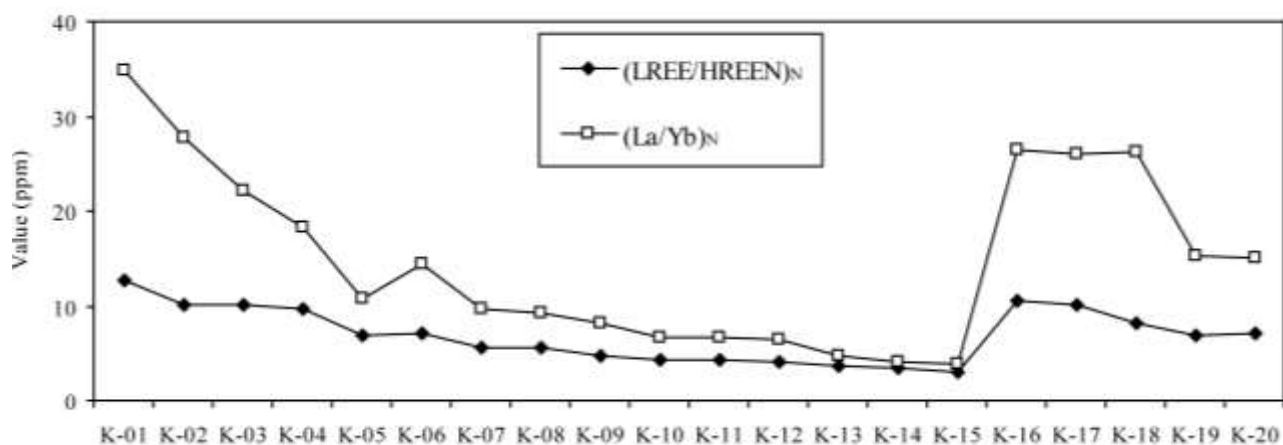
	La	Ce	Pr	Nd	Sm	Eu	Gd	Tb	Dy	Ho	Er	Tm	Yb	Lu
حدآشکارسازی	۰/۱	۰/۱	۰/۰۲	۰/۳	۰/۰۵	۰/۰۲	۰/۰۵	۰/۰۱	۰/۰۵	۰/۰۲	۰/۰۳	۰/۰۱	۰/۰۵	۰/۰۱
K-01	۴۰/۳	۵۸/۱	۹/۹۹	۴۹/۱	۱۲/۹۶	۲/۱۴	۶/۸۸	۰/۵۷	۱/۹۱	۰/۲۹	۰/۸۴	۰/۱۲	۰/۷۸	۰/۱۲
K-02	۳۶/۶	۵۷/۵	۱۰/۶۵	۵۱/۹	۹/۰۷	۱/۹۶	۷/۷۳	۰/۸۹	۲/۹۹	۰/۲۶	۰/۹۶	۰/۱۴	۰/۸۹	۰/۱۵
K-03	۳۲/۶	۵۲/۹	۸/۷۸	۵۸/۶	۱۱/۴۴	۲/۱۹	۸/۰۴	۰/۹۸	۲/۲۱	۰/۴۲	۱/۰۸	۰/۱۵	۰/۹۹	۰/۱۷
K-04	۲۷/۶	۴۴/۹	۹/۳۹	۴۳/۳	۱۴/۳۳	۱/۸۵	۶/۹۶	۱/۰۵	۱/۷۹	۰/۳۱	۱/۰۹	۰/۱۴	۱/۰۲	۰/۱۶
K-05	۲۲/۹	۴۲/۸	۷/۷۴	۳۶/۸۰	۶/۷۹	۱/۵۷	۶/۵۵	۰/۷۵	۳/۰۸	۰/۵۵	۱/۶۱	۰/۲۱	۱/۴۵	۰/۲۳
K-06	۲۳/۸	۳۶/۲	۶/۵۴	۴۴/۶	۱۱/۷۴	۲/۲۴	۸/۵۶	۱/۰۵	۲/۴۱	۰/۳۳	۱/۱۹	۰/۱۵	۱/۱۱	۰/۱۸
K-07	۲۲/۹	۳۵/۵	۵/۸۱	۳/۱	۷/۶۲	۱/۱۲	۶/۱۲	۰/۸۸	۲/۷۱	۰/۸	۲/۱۶	۰/۲۷	۱/۶۸	۰/۲۶
K-08	۲۴/۴	۳۶/۶	۵/۷۴	۲۹/۶	۷/۵۱	۱/۳۵	۵/۹۸	۰/۹۱	۳/۸۵	۰/۷۲	۲/۲۲	۰/۳۱	۱/۷۸	۰/۲۸
K-09	۲۲/۵	۳۲/۳	۵/۲۱	۲۷/۴	۷/۴۳	۱/۲۵	۶/۲۱	۰/۹۶	۴/۰۲	۰/۸۱	۲/۳۹	۰/۳۶	۱/۸۴	۰/۳۱
K-10	۲۱/۹	۳۱/۶	۵/۰۶	۲۶/۳	۷/۲۳	۱/۱۶	۶/۴۱	۱/۰۶	۴/۲۲	۰/۹۶	۲/۵۱	۰/۳۸	۲/۲۳	۰/۳۶
K-11	۲۳/۱	۳۰/۴	۴/۸۸	۲۵/۵	۶/۹۸	۱/۰۵	۶/۳۳	۰/۸۹	۴/۳۶	۱/۰۲	۲/۶۵	۰/۴۲	۲/۳۶	۰/۴۲
K-12	۲۳/۹	۲۹/۵	۴/۶۶	۲۴/۹	۶/۷۷	۰/۹۹	۶/۱۲	۰/۹۱	۴/۴۹	۱/۱۲	۲/۷۸	۰/۴۸	۲/۵۴	۰/۴۵
K-13	۲۲/۸	۲۸/۱	۴/۵۵	۲۳/۸	۶/۴۵	۰/۸۷	۵/۸۴	۰/۹۹	۴/۵۳	۱/۱۶	۲/۱۲	۰/۴۶	۳/۲۵	۰/۴۹
K-14	۲۱/۶	۲۶/۲	۴/۳۳	۲۲/۹	۶/۴۱	۰/۸۱	۵/۴۴	۰/۹۸	۵/۱۲	۱/۲۵	۲/۵۴	۰/۵۱	۳/۵۴	۰/۵۵
K-15	۲۰/۹	۲۵/۵	۴/۱۲	۲۱/۸	۶/۲۳	۰/۷۸	۶/۰۲	۱/۰۶	۵/۵۶	۱/۳۵	۳/۶۶	۰/۵۶	۳/۷۴	۰/۵۹
K-16	۳۷/۲	۵۸/۲	۱۰/۷۴	۵۲/۳	۹/۱۲	۲/۰۲	۷/۸۴	۰/۶۴	۲/۶۵	۰/۳۸	۱/۰۱	۰/۱۵	۰/۹۵	۰/۱۴
K-17	۳۸/۱	۵۶/۶	۱۱/۰۲	۵۴/۱	۹/۴۵	۲/۱۶	۸/۰۲	۰/۶۸	۲/۸۱	۰/۴۱	۱/۱۶	۰/۱۶	۰/۹۹	۰/۱۶
K-18	۳۹/۹	۴۴/۶	۸/۰۱	۴۹/۶	۱۳/۲۱	۲/۲۱	۹/۵۲	۰/۷۱	۲/۹۱	۰/۴۵	۱/۲۶	۰/۱۹	۱/۰۳	۰/۱۸
K-19	۴۰/۲	۴۴/۸	۷/۴۵	۴۶/۱	۵/۳۹	۱/۴۹	۸/۹۸	۰/۷۹	۲/۹۹	۰/۵۵	۱/۴۲	۰/۲۳	۱/۷۹	۰/۳۱
K-20	۴۱/۲	۴۶/۸	۸/۰۶	۴۸/۲	۵/۶۵	۱/۵۵	۸/۸۸	۰/۸۹	۴/۰۶	۰/۵۹	۱/۵۲	۰/۲۶	۱/۸۵	۰/۳۳



شکل ۱۲ روند تغییرات (الف) REE‌ها، (ب) LREE‌ها و (ج) HREE‌ها در نمونه‌های بررسی شده از ذخیره کائولن ساری‌تپه.

جدول ۵ مقادیر برخی از شاخص‌های زمین‌شیمیایی محاسبه شده برای نمونه‌های مورد بررسی از ذخیره کائولن ساری‌تپه.

	REE	LREE	HREE	La+Ce+Y	Eu/Eu*	Ce/Ce*	(LREE/HREE) <sub>N</sub>	(La/Yb) <sub>N</sub>	(La/Lu) <sub>N</sub>	Ba+Sr	TiO <sub>2</sub> +Fe <sub>2</sub> O <sub>3</sub>	SiO <sub>2</sub> /Al <sub>2</sub> O <sub>3</sub>	Nb+Cr
K-01	۱۸۴,۱۰	۱۷۲,۵۹	۱۱,۵۱	۱۳۷,۰	۰,۶۳	۰,۶۶	۱۲,۷۳	۲۴,۹۱	۳۴,۸۷	۱,۰۴	۳۵۱	۱۴,۱	
K-02	۱۸۱,۷۹	۱۶۷,۶۸	۱۴,۱۱	۱۳۱,۹	۰,۷۰	۰,۶۸	۱۰,۰۹	۲۷,۷۹	۲۵,۳۴	۱,۰۰	۴,۱۶	۱۳,۵	
K-03	۱۸۰,۰۵	۱۶۶,۵۱	۱۴,۰۴	۱۲۴,۷	۰,۶۶	۰,۷۲	۱۰,۰۷	۲۵,۲۵	۱۹,۹۱	۱,۰۸	۳۶۲	۱۳,۶	
K-04	۱۵۳,۸۹	۱۴۱,۳۷	۱۲,۵۲	۱۰,۹,۸	۰,۵۰	۰,۶۵	۹,۵۹	۱۸,۲۸	۱۷,۹۱	۱۲۰,۷۸	۰,۹۰	۳۶۶	۱۴,۲
K-05	۱۳۳,۰۳	۱۱۸,۶۰	۱۴,۴۳	۱۰۰,۶	۰,۷۱	۰,۷۵	۶,۹۸	۱۰,۶۷	۱۰,۳۴	۱۰,۴۵	۱,۱۵	۳۴۷	۱۵,۱
K-06	۱۴۰,۱۱	۱۲۵,۱۳	۱۴,۹۸	۱۰,۴,۴	۰,۶۵	۰,۶۷	۷,۰۹	۱۴,۴۹	۱۳,۷۳	۱,۰۹	۱۲۴	۲,۸۳	۱۵,۹
K-07	۱۲۰,۰۱	۱۰۴,۳۵	۱۵,۶۶	۸,۹,۳	۰,۶۲	۰,۶۹	۵,۶۶	۹,۶۱	۹,۵۵	۱۵۹,۸۸	۱,۰۰	۱,۵۹	۲۳,۸
K-08	۱۲۱,۲۵	۱۰,۵,۲۰	۱۶,۰۵	۹,۱,۷	۰,۶۰	۰,۷۱	۵,۵۷	۹,۲۶	۹,۰۵	۱۵۰,۶,۲	۰,۹۸	۱,۵۹	۲۲,۳
K-09	۱۲۲,۹۹	۹,۶,۹	۱۶,۹۰	۸,۸,۱	۰,۵۵	۰,۶۸	۴,۸۳	۸,۲۶	۷,۰۴	۱۵۰,۷,۶	۱,۰۰	۱,۷۳	۲۲,۴
K-10	۱۱۱,۱۸	۹,۳,۲۵	۱۸,۱۳	۸,۱,۶	۰,۵۱	۰,۶۸	۴,۳۷	۶,۶۴	۶,۳۲	۱۴۸,۷,۹	۰,۹۴	۱,۴۶	۲۵,۲
K-11	۱۱۰,۳۶	۹,۱,۹۱	۱۸,۴۵	۸,۹,۵	۰,۴۷	۰,۶۴	۴,۲۳	۶,۶۱	۵,۷۱	۱۳۱,۶,۴	۱,۰۲	۱,۹۴	۲۱,۳
K-12	۱۰,۹,۶۱	۹,۰,۷۲	۱۸,۸۹	۹,۱,۴	۰,۴۶	۰,۶۲	۴,۰۸	۶,۳۶	۵,۵۲	۱۴۱,۲,۳	۱,۱۱	۰,۹۶	۲۰,۴
K-13	۱۰,۶,۴۱	۸,۶,۵۷	۱۹,۸۴	۸,۴,۹	۰,۴۳	۰,۶۲	۳,۷۰	۴,۷۴	۴,۸۳	۱۳۶,۷,۱	۰,۹۵	۲,۱۵	۱۹,۷
K-14	۱۰,۳,۱۸	۸,۲,۲۵	۲۰,۹۳	۸,۱,۲	۰,۴۱	۰,۶۱	۳,۳۴	۴,۱۲	۴,۰۸	۱۴۲,۸,۱	۰,۹۹	۲,۲۰	۲۰,۰
K-15	۱۰,۱,۵۷	۷,۹,۳۳	۲۲,۲۴	۷,۷,۶	۰,۳۸	۰,۶۱	۳,۰۳	۳,۷۸	۳,۶۸	۱۶۰,۴,۲	۰,۹۸	۱,۶۸	۲۱,۹
K-16	۱۸۲,۳۴	۱۶۸,۵۸	۱۳,۷۶	۱۳۰,۶	۰,۷۱	۰,۶۸	۱۰,۴۶	۲۶,۴۶	۲۷,۵۹	۱۰,۱۸,۵	۱,۱۵	۲,۶۵	۱۷,۷
K-17	۱۸۵,۸۲	۱۷۱,۴۳	۱۴,۳۹	۱۳۰,۳	۰,۷۴	۰,۶۴	۱۰,۱۱	۲۶,۰۰	۲۴,۷۳	۱۱۱,۱۲,۷	۱,۱۰	۲,۹۷	۱۶,۲
K-18	۱۷۳,۷۸	۱۵۷,۵۳	۱۶,۲۵	۱۲۳,۴	۰,۵۸	۰,۵۶	۸,۲۳	۲۶,۱۷	۲۳,۰۲	۱۰,۸۲,۵	۱,۰۱	۳,۶۶	۱۳,۹
K-19	۱۶۳,۵۹	۱۴۵,۵۳	۱۸,۰۶	۱۲۲,۷	۰,۶۵	۰,۵۷	۶,۸۴	۱۵,۲۱	۱۳,۵۰	۱۰,۳۰,۷	۰,۹۴	۳۲۰	۱۴,۷
K-20	۱۶۹,۸۴	۱۵۱,۴۶	۱۸,۳۸	۱۳۰,۱	۰,۶۷	۰,۵۷	۷,۰۰	۱۵,۰۵	۱۲,۹۶	۱,۰۱۱	۰,۸۷	۳۹۸	۱۳,۳

شکل ۱۳ روند تغییرات<sub>N</sub> (La/Yb)<sub>N</sub> و (LREE/HREE)<sub>N</sub> در نمونه‌های بررسی شده از ذخیره کائولن ساری‌تپه.

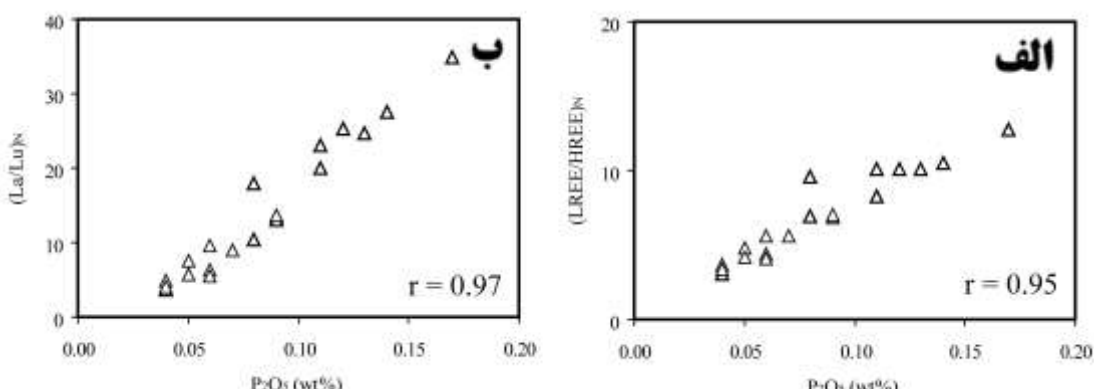
مقادیر \* Eu/Eu و Ce/Ce\* در نمونه‌های کائولن به ترتیب گستره تغییراتی از ۰,۳۸ تا ۰,۷۰ و از ۰,۴۸ تا ۰,۷۲ دارند با P<sub>2</sub>O<sub>5</sub> (La/Lu)<sub>N</sub> از ۱۴ (۰,۹۷ =  $\text{P}_2\text{O}_5$ ) شکل ۱۴ ب) نشانگر نقش ارزنده فرآیندهای دورنگزاد در تشکیل و گسترش ذخیره کائولن ساری‌تپه است [۲].

بررسی ارتباط بین روند تغییرات P<sub>2</sub>O<sub>5</sub> نسبت به (La/Lu)<sub>N</sub> و (LREE/HREE)<sub>N</sub> می‌تواند به عنوان روش‌های زمین‌شیمیایی مناسب به تعیین ماهیت درونگزاد یا برونزاد یک ذخیره کائولن کمک کند [۲]. وجود همبستگی مثبت قوی بین P<sub>2</sub>O<sub>5</sub> با (LREE/HREE)<sub>N</sub> (۰,۹۵ =  $\text{P}_2\text{O}_5$ ) شکل ۱۴ الف) و

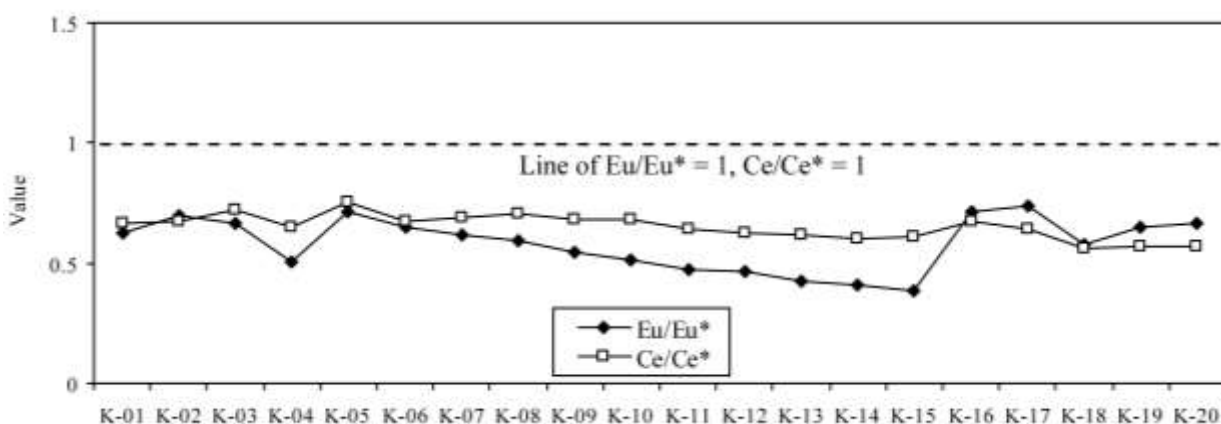
۱۳۷ گرم در تن دارد (جدول ۵). مقادیر بالای ۱۰۰ گرم در تن برای این شاخص مربوط به بخش‌های بیرونی ذخیره است. براساس مقادیر این عامل می‌توان گفت که بخش مرکزی ذخیره در اثر عملکرد فرآیندهای درونزاد ایجاد شده است. این در حالی است که بخش‌های بیرونی ذخیره افزون بر عملکرد فرآیندهای درونزاد، با فرآیندهای برونزاد دستخوش تغییراتی شده‌اند. در کل با توجه به داده‌های گزارش شده از ذخیره کائولن زنوز [۱۰] و مقایسه آن با نتایج این پژوهش می‌توان گفت که نقش فرآیندهای برونزاد در گسترش و تکامل ذخیره کائولن ساری‌تپه در مقایسه با ذخیره کائولن زنوز بسیار کم رنگ بوده است.

(جدول ۵). به بیان دیگر، این مقادیر نشان می‌دهند که تشکیل و گسترش ذخیره کائولن ساری‌تپه با رخداد بی‌هنجری‌های منفی قوی Eu و Ce همراه شده است (شکل ۱۵). رخداد این دو بی‌هنجری منفی بیانگر دمای بالای محلول‌های مسئول کائولینیتی‌شدن و نقش فرایندهای درونزاد در گسترش و تکامل ذخیره کائولن مورد بررسی است [۲، ۴۰].

مقدار La+Ce+Y شاخص زمین‌شیمیایی مناسبی برای تفکیک فرایندهای درونزاد و برونزاد طی گسترش کانسارهای کائولن به شمار می‌رود [۱]. مقادیر کمتر و بیشتر از ۱۰۰ گرم در تن برای این عامل به ترتیب بیانگر اثر فرایندهای درونزاد و برونزاد در تشکیل این دسته از کانسارها هستند [۱]. مقدار La+Ce+Y در نمونه‌های کائولن گستره تغییراتی از ۷۷۶ تا



شکل ۱۴ نمودارهای دو متغیره تغییرات مقادیر (الف)  $P_2O_5$  نسبت به  $(La/Yb)_N$  در نمونه‌های کائولن مورد بررسی از ذخیره ساری‌تپه.



شکل ۱۵ روند تغییرات  $Ce/Ce^*$  و  $Eu/Eu^*$  در نمونه‌های بررسی شده از ذخیره کائولن ساری‌تپه.

۷- جذب ترجیحی LREEها توسط کانی‌های گوتیت، کائولینیت، اسماکتیت و ایلیت عامل اصلی غنی‌شدنی و جدایش LREEها از HREEها در نمونه‌های ذخیره کائولن ساری‌تپه است.

۸- نتایج برآمده از برخی شاخص‌های زمین شیمیایی چون  $\text{Ba}+\text{Sr}$  و  $\text{La}+\text{Ce}+\text{Y}$ ,  $\text{Nb}+\text{Cr}$ ,  $\text{TiO}_2+\text{Fe}_2\text{O}_3$ ,  $\text{TiO}_2$  همراه با همبستگی‌های مثبت قوی بین<sub>N</sub> (LREE/HREE) با  $\text{P}_2\text{O}_5$  و  $(\text{La/Lu})_{\text{N}}$  با  $\text{P}_2\text{O}_5$  بیانگر نقش مهم و ارزنده فرآیندهای درونزاد و نقش محدود فرآیندهای برونزاد در گسترش ذخیره هستند.

۹- رخداد بی‌هنگاری‌های منفی Eu و Ce نقش سیال‌های گرمابی دما بالا و عملکرد فرآیندهای درونزاد در گسترش و تکامل ذخیره کائولن ساری‌تپه را آشکار می‌سازد.

#### قدرتانی

این پژوهش از حمایت‌های مالی معاونت پژوهشی و تحصیلات تکمیلی دانشگاه ارومیه برخوردار بوده است، که نگارندگان به این وسیله سپاس و قدردانی خود را از همه مسئولین آن اعلام می‌دارند. نگارندگان همچنین از نظرها و پیشنهادهای سازنده داوران محترم مجله سپاسگزاری می‌نمایند.

#### مراجع

- [1] Dill H. G., Bosse R., Henning K. H., Fricke A., Ahrendt H., "Mineralogical and chemical variations in hypogene and supergene kaolin deposits in a mobile fold belt the Central Andes of northwestern Peru", Mineralium Deposita 32 (1997) 149-163.
- [2] Cravero F., Dominguez E., Iglesias C., "Genesis and applications of the Cerro Rubio kaolin deposit, Patagonia (Argentina)", Applied Clay Science 18 (2001) 157-172.
- [3] Karakaya M. C., Karakaya N., Temel A., Yavuz F., "Mineralogical and geochemical properties and genesis of kaolin and alunite deposits, SE of Aksaray (Central Turkey)", Applied Geochemistry 124 (2021) 104830.
- [4] Kadir S., Kulah T., Eran M., Önagil N., Gurel A., "Minerlogical and geochemical characteristics and genesis of the Gözelyurt alunite-bearing kaolinite deposit within the late Miocene Gördeles ignimbrite, central Anatolia, Turkey ", Clays and Clay Minerals 62 (2014) 477-499.
- [5] Sayit I. Ö., Türkmenoğlu A. G., Demirci C. S. A., "Hydrothermal alteration products in the vicinity of the Ahırözü kaolin deposits, Mihalıççık-

#### برداشت

مهمترین نتایج به دست آمده از بررسی‌های کانی‌شناسی و زمین شیمی عناصر اصلی، جزئی و خاکی نادر ذخیره کائولن ساری‌تپه عبارتند از:

۱- شواهد صحرایی چون برشی شدن محلی، کانه‌زایی پیریت، کالکوپیریت، هماتیت، گوتیت و باریت در رگچه‌های ذخیره وجود پوش سنگ سیلیسی بر ماهیت گرمابی ذخیره کائولن ساری‌تپه تأکید دارند.

۲- این ذخیره دارای دو انبوهه کانی‌ای مختلف است که در مرکز و بخش‌های بیرونی ذخیره تشخیص داده شدند. بخش مرکزی شامل کانی‌های کائولینیت، کوارتز، آلونیت، هالویزیت، پیریت و روتیل بوده و بخش بیرونی نیز از کانی‌های کائولینیت، کوارتز، اسماکتیت و ایلیت تشکیل شده است. با توجه به وجود این دو نوع انبوهه کانی‌ای می‌توان چنین تصور کرد که محلول‌های اسید سولفاتی نقش بسیار مهمی در رخداد انباشت کانی‌ای بخش مرکزی ذخیره داشته‌اند. این محلول‌ها از مرکز به سمت بیرون ذخیره به دلیل واکنش با سنگ‌های درونگیر آتشفسانی (آندرزیت- داسیت) و تشکیل اسماکتیت و ایلیت خشی شده و با افزایش pH مواجه شده‌اند.

۳- همبستگی‌های منفی بین  $\text{Al}_2\text{O}_3-\text{K}_2\text{O}$ ,  $\text{Al}_2\text{O}_3-\text{SiO}_2$  و  $\text{SiO}_2-\text{LOI}$  دگرسانی گرمابی عامل اصلی گسترش این ذخیره بوده‌اند و سازوکار آهن‌زدایی طی گسترش فرآیندهای کائولینیتی‌شدن رخ داده است.

۴- تغییرات و مقادیر برخی از شاخص‌های زمین شیمیایی چون  $\text{SiO}_2/\text{Al}_2\text{O}_3$  بخش بیرونی ذخیره را پیشنهاد می‌کنند.

۵- نقش مهم pH محلول‌های مسئول کائولینیتی‌شدن در ذخیره ساری‌تپه را می‌توان از روی روند تغییرات مقادیر برخی از شاخص‌های زمین شیمیایی چون  $\text{Al}_2\text{O}_3+\text{TiO}_2$ ,  $(\text{Al}_2\text{O}_3)/(\text{Na}_2\text{O}+\text{CaO}+\text{K}_2\text{O})$  و  $\text{SiO}_2+\text{Fe}_2\text{O}_3+\text{MgO}+\text{Na}_2\text{O}+\text{CaO}+\text{K}_2\text{O}$  در نیمرخ مورد بررسی برداشت نمود.

۶- عملکرد فرآیند روش توسط گوتیت، جذب سطحی توسط کانی‌های رسی و جانشینی دیادوکی در روتیل سه عامل مهم و اثرگذار در توزیع عناصر جزئی در ذخیره بوده‌اند.

- [18] Ercan H. U., Ece U. I., Schroeder P. A., Karacik Z., "Differentiating styles of alteration within kaolin-alunite hydrothermal deposits of Çanakkale, NW Turkey", *Clays and Clay Minerals* 64 (2016) 245-274.
- [19] Deyell C. L., Rye R. O., Landis G. P., Bissig T. "Alunite and the role of magmatic fluids in the Tambo high-sulfidation deposit, El Indio-Pascua belt, Chile", *Chemical Geology* 215 (2005) 185-218.
- [20] Lerouge C., Kunov A., Flehoc C., Georgieva S., Hikov A., Lescuyer J.K., Petrunov R., Velinova N. "Constraints of stable isotopes on the origin of alunite from advanced argillic alteration systems in Bulgaria", *Journal of Geochemical Exploration* 90 (2006) 166-182.
- [21] Reyes, A. G. "Petrology of Philippine geothermal systems and the application of alteration mineralogy to their assessment", *Journal of Volcanology and Geothermal Research* 43 (1990) 279-309.
- [22] Wulaningsih T., Humaida H., Harijoko A., Watanabe K. "Major element and rare earth elements investigation of Merapi volcano, Central Java, Indonesia", *Procedia Earth and Planetary Science* 6 (2013) 202-211.
- [23] Çiflikli M., "Hydrothermal alteration-related kaolinite/dickite occurrences in ignimbrites: An example from Miocene ignimbrite units in Avanos, Central Turkey", *Arabian Journal of Geosciences* 13 (2020) 1044.
- [24] Meunier A., "Clays", Springer Verlag, Berlin, Heidelberg (2005) 1-472.
- [25] Inoue A., "Formation of clay minerals in hydrothermal environments", In: Velde, B. (Ed.), *Origin and Mineralogy of Clays*. Springer-Verlag, Berlin (1995).
- [26] Dill H. G., Fricke A., Henning K. H., "The origin of Ba-and REE-bearing alumino-phosphate minerals from Lohrheim kaolinitic clay deposit. (Rheinisches Schiefergebirge, Germany)", *Applied Clay Science* 10 (1995) 231-245.
- [27] Jepson W. B., Browse J. B., "The composition of kaolinite-an electron microprobe study", *Clays and Clay Minerals* 23 (1975) 310-317.
- [28] Kadir S., Erkoyun H., "Genesis of the hydrothermal Karaçayır kaolinite deposit in Miocene volcanics and Palaeozoic metamorphic rocks of the Uşak-Güre Basin, western Turkey", *Turkish Journal of Earth Sciences* 22 (2013) 444-468.
- [29] Ercan H. U., Ece U. I., Schroeder P. A., Karacik Z., "Epidote-alunite hydrothermal deposit in Eskişehir, Turkey", *Clay Minerals* 53 (2018) 289-303.
- [30] Baioumy H., Farahat, M., Arifin M. H., Anuar M. N. A. B., Al-Kahtany K., "Hypogene kaolin deposits from felsic intrusive rocks (Peninsular Malaysia) with special reference to rare earth elements and stable isotopes geochemistry", *Geosciences Journal* 25 (2021) 863-876.
- [31] Galán E., Aparicio P., Fernández-Caliani J. C., Miras A., Márquez M. G., Fallick A. E., Clauer N., "New insights on mineralogy and genesis of kaolin deposits: The Burela kaolin deposit (Northwestern Spain)", *Applied Clay Science* 131 (2016) 14-26.
- [32] Kadir S., Ateş H., Erkoyun H., Külah T., Esenli F., "Genesis of alunite-bearing kaolin deposit in Mudamköy member of the Miocene Göbel Formation, Mustafakemalpaşa (Bursa), Turkey", *Applied Clay Science* 221 (2022) 106407.
- [33] Pracejus B., Abbasi I. A., Al-Khirbush S., Al-Aamri M., "Nature, genesis and industrial properties of the kaolin from Masirah Island, Oman", *Clay Minerals* 52 (2017) 275-297.
- [34] Alipour V., Abedini A., "Behaviour of major, minor and trace elements (including REEs) during kaolinization processes at Zonouz deposit, northeast of Marand, East Azarbaijan province", *Journal of Economic Geology* 3 (2012) 231-249.
- [35] Eftherkhar-Nezhad J., Ghorashi M., Mehrpato S., Arshadi S., Sohrehbakhsh A., "Geological map of the Tabriz-Poldasht (scale 1:250000)", Geological Survey of Iran (1991).
- [36] Abdolahi M.R., Hosseini M., "Geological map of the Jolfa (scale 1:100000)", Geological Survey of Iran (1996).
- [37] Nabavi M. H., "An introduction to the geology of Iran", Geological Survey of Iran Publication (1976) 1-105.
- [38] Taylor Y, McLennan S. M., "The continental crust: Its composition and evolution", 1st ed. Oxford, UK: Blackwell (1985).
- [39] Berger B.R., Henley R.W. "Advances in the understanding of epithermal gold-silver deposits, with special reference to the western United States", *Economic Geology Monograph* 6 (1989). <https://doi.org/10.5382/Mono.06.32>.
- [40] Hedenquist J. W., Arribas A., Gonzalez-Urien E. "Exploration for epithermal gold deposits", *Reviews in Economic Geology* 13(2000) 45-77.
- [41] Ece O. A., Schroeder P. A., Smilley A., Wampler A., "Acid sulfate alteration of volcanic rocks and genesis of halloysite and alunite deposits in the Biga Peninsula, NW Turkey", *Clay Minerals* 43 (2008) 281-315.

- Journal of Crystallography and Mineralogy 32 (2024) 43-58.
- [36] Marques J. J., Schulze D. G., Curi N., Mertzman S. A., "Trace element geochemistry in Brazilian Cerrado soils", Geoderma, 121 (2004) 31-43.
- [37] Arslan M., Kadir S., Abdioglu E., Kolayli H., "Origin and formation of kaolin minerals in saprolite of Tertiary alkaline volcanic rocks, Eastern Pontides, NE Turkey", Clay Minerals 41 (2006) 597-617.
- [38] Abedini A., Khosravi M. "Geochemical characteristics of rare earth elements in argillic alteration zone: An example from the Kharvana area, NW Iran", Jordan Journal of Earth and Environmental Sciences 15 (2024) 20-27.
- [39] Patino L. C., Velbel M. A., Price J. R., Wade, J. A., "Trace element mobility during spheroidal weathering of basalts and andesites in Hawaii and Guatemala", Chemical Geology 202 (2003) 343-364.
- [40] Lackschewitz K. S., Singer A., Botz R., Garbe-Schnberg D., Stoffers P., "Mineralogy and geochemistry of clay minerals near a hydrothermal site in the Escanaba trough, Gorda Ridge, northeast Pacific Ocean", In: Zierenberg R. A., Fouquet Y., Miller D. J., Normark W.R., (eds), Proceeding of the Ocean Drilling Program. Scientific Results, 169 (2000) 1-24.
- [29] Maiza P. J., Pieroni D., Marfil S. A., "Geochemistry of hydrothermal kaolins in the SE area of Los Menudos, province of Río Negro, Argentina", In: Dominguez E.A., Mas G.R., Cravero F. (Eds.), 2001, A Clay Odyssey. Elsevier, Amsterdam (2003) 123-130.
- [30] Stoffregen R. E., Cygan G. L. "An experimental study of Na-K exchange between alunite and aqueous sulfate solutions", American Mineralogist 75 (1990) 209-220.
- [31] Sayın S. A. "Origin of kaolin deposits: Evidence from the Hisarcık (Emet-Kutahya) deposits, western Turkey", Turkish Journal of Earth Science 16 (2007) 77-96.
- [32] Pirajno F. "Volcanic-hosted epithermal systems in northwest Turkey", South African Journal of Geology 98(1995) 13-24.
- [33] Kadir S., Akbulut A., "Mineralogy, geochemistry and genesis of the Taşoluk kaolinite deposits in pre-Early Cambrian metamorphites and Neogene volcanites of Afyonkarahisar, Turkey", Clay Minerals 44 (2011) 89-112.
- [34] Abedini A., "Mineralogy and geochemistry of the Hizeh-Jan kaolin deposit, northwest of Varzaghan, East-Azerbaijan province, NW Iran", Iranian Journal of Crystallography and Mineralogy 24 (2017) 647-660.
- [35] Abedini A., "Mineralogy and geochemistry of the Tatros kaolin deposit, southwest of Daneshfahan, Gazvin Province, Iran", Iranian